

الباب الأول

المقدمة

١-١- الابطة الهيدروجينية:

١-١-Hydrogen bond

١-١-١ - تعریف الابطة الهيدروجينية والانتقال البروتونی:

١-١- Definition of hydrogen-bond and proton transfer:

الابطة الهيدروجينية ($A-H \cdots B$) عبارۃ عن ارتباط الهيدروجين المرتبط تساهماً مع ذرة ذات سالبیة کهربائیة مرتفعة ($A-H$). الذي يمكن إزاحتہ إلى منطقة ذات كثافة إکترونیة عالیة مع ذرة أخرى لها سالبیة کهربائیة عالیة (B) أو مجموعة من الذرات والتي يمكن أن تستقبل البروتون. ويقال أن الابطة الهيدروجينية داخلية أو خارجية على حسب انتماء الذرتین A , B إلى نفس الجزيء أو إلى جزيئین مختلفین (Habeeb and Awad 1995; .Habeeb 1997)

على الرغم من أن العلماء وضعوا الكثير من النظريات والنماذج التي تفسر الابطة الهيدروجينية، إلا أنه مازالت الطبيعة الحقيقة للابطة الهيدروجينية التي تحتوي على انتقال بروتونی محل الكثير من التساؤلات وأن مستويات الطاقة المختلفة لعملية الانتقال البروتونی تعتبر مشكلة جديرة بالبحث.

وتنتمي أهم هذه التساؤلات الطبيعة الديناميكية للبروتون في الابطة الهيدروجينية ويعطي إمكانية انتقال البروتون في الابطة الهيدروجينية الجسرية العديد من الخواص غير

العادية المميزة لمترابكات الرابطة الهيدروجينية. إن الجهد المتحكم في الانتقال البروتوني للرابطة الهيدروجينية الجسرية يعتبر ذا أهمية في تصنيف الرابطة الهيدروجينية (Nogaj 1987; Dziembowska 1994; Awad and Habeeb 1996).

يوضح الشكل (1-1) الأنواع الأساسية لجهد البروتون في الرابطة الهيدروجينية ويمثل كالتالي:

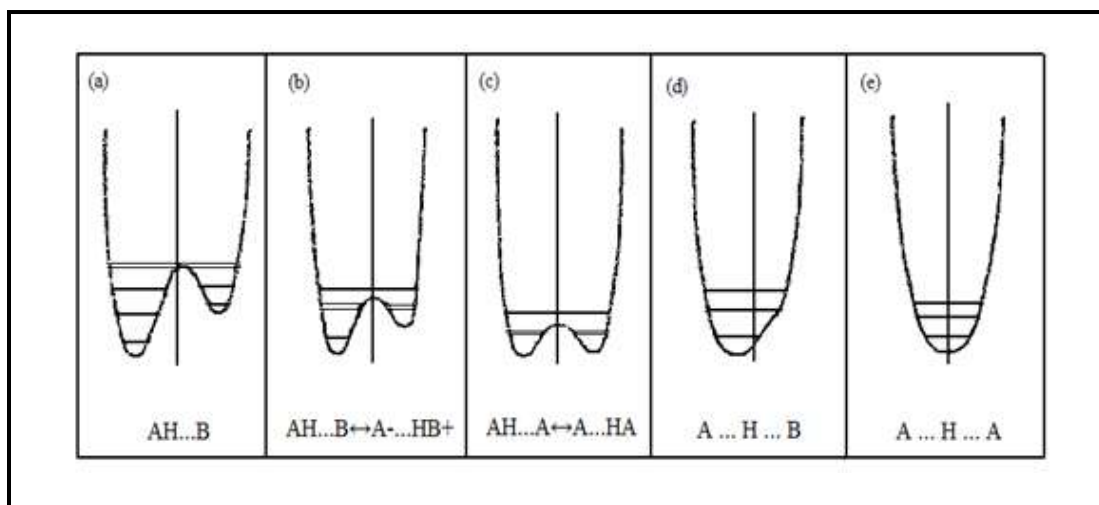


Fig. (1-1): Types of proton potential in hydrogen bond.

- (a) - روابط هيدروجينية ضعيفة غير متماثلة ($AH \dots B$)
- (b) - روابط هيدروجينية غير متماثلة ثنائية القاع ($AH \leftrightarrow B^- \dots HB^+$)
- (c) - روابط هيدروجينية حركية متماثلة ($AH \leftrightarrow A^- \dots HA$)
- (d) - روابط هيدروجينية غير متماثلة قوية ($A \dots H \dots B$)
- (e) - روابط هيدروجينية متماثلة قوية ($A \dots H \dots A$)

١-١-٢- أهمية الرابطة الهيدروجينية ومتراكات الانتقال البروتوني:

1-1-2-Importance of H-bond and proton transfer complexes:

من المعروف أنه لا حياة على الأرض بدون الماء وترجع الخواص غير العادية للماء إلى وجود الروابط الهيدروجينية بين جزيئاته كما تلعب الرابطة الهيدروجينية دوراً مهماً في حياة الكائنات الحية.

- تمتلك العديد من البوليمرات الحيوية خواص ميكانيكية غير عادية تعود لوجود الرابطة الهيدروجينية (Perutz 1970).
- لاحظ كثير من العلماء وجود روابط هيدروجينية بين مجموعة الكربوكسيل وبقايا الهستدين في البروتينات (Ruterjans and Pongs 1971) كما تم ملاحظتها في الهيموجلوبين (Fritzsche 1971).
- تفسر الرابطة الهيدروجينية السلوك غير العادي لتركيب البروتين وتعطي معلومات عن ميكانيكية عمل الجينات في جسم الإنسان (Birkoff and Blow 1972).
- تلعب الرابطة الهيدروجينية دوراً مهماً في تركيب عديد النيوكلوتيد مثل RNA و DNA والتي تحتوي على روابط هيدروجينية من نوع O...NH و N...NH (Zundel, Lubos and Kolkenbeck 1972).
- يلعب اتزان الانتقال البروتوني دوراً مهماً في التفاعلات الإنزيمية وتزداد فعالية المجموعات المركزية في الإنزيم بإزاحة الشحنة داخل هذا الإنزيم من خلال الانتقال البروتوني ومن أمثلة هذه الميكانيكية تخمير السيرين (Zundel 1988).

- الرابطة الهيدروجينية مسؤولة عن الحالة السائلة للماء والكحولات عند درجة حرارة الغرفة (Huyskens, Luck and Huyskens 1991).
- أيضاً تؤثر عملية الانتقال البروتوني على العديد من الخواص الفيزيائية لبعض المركبات فمثلاً ترتبط درجة السكرية في بعض الكربوهيدرات مع تركيبها والذي يرتبط ارتباطاً وثيقاً بتفاعل الانتقال البروتوني (Woods, Szarek and Smith 1990).
- من التطبيقات المهمة لاتزان الانتقال البروتوني تقدير مخلوط من البروتين والأحماض الأمينية الكلية، اعتماداً على نواتج التفاعل بين بارا بنزوكينون والبروتين حيث يعطي هذا التفاعل حزمة امتصاص في مدى من الطول الموجي 350–440 نانومتر (Barreto, Aquino and Zaia 1990).
- تتحكم الرابطة الهيدروجينية في العديد من العمليات الحيوية التي تعتمد على الحفز الإنزيمي (Cleland and Kreevoy 1994) حيث تتكون الرابطة الهيدروجينية بين المادة والإنزيم (Cleland and Kreevoy 1995).
- تساعد عملية الانتقال البروتوني في معرفة التركيب الجزيئي لبعض المركبات القاعدية وذلك عن طريق تفاعಲها مع بيتا-فلوروفينول باستخدام طيف فوريير للأشعة تحت الحمراء FTIR (Laurence et al. 1995).

▪ ينظم تفاعل الرابطة الهيدروجينية العديد من العمليات بين الجزيئات في الأنظمة الحيوية كتنظيم أيض (التمثيل الغذائي) الكوليسترول في جسم الإنسان (Fourmy et al. 1996).

▪ توصل Roberts et al. إلى وجود علاقة عكسية بين عدد مجموعات الرابطة الهيدروجينية ومعامل الانتشار [diffusion coefficient (D)] (Roberts, Pugh and Hadgraft 1996).

▪ تظهر تفاعلات الروابط الهيدروجينية في البروتين حيث يرتبط جزيئين من بقايا أحماض أمينية أساسية مضاف إليها بروتون مع حمض أميني آخر منزوع البروتون من مجموعة الكربوكسيل الحمضية مما يؤثر على تكوين البروتين (Gurlie, Duong and Kacrzeuska 1999).

▪ تلعب الرابطة الهيدروجينية دوراً مهماً في التحكم بالتركيبيات الجزيئية الداخلية والخارجية في الأنظمة الحية كما تتحكم في العمليات الحيوية كالموقع النشطة فـ إنزيمـاتـ الكـينـونـ (Niemz and Rottelo 1999) quinoenzymes.

▪ تعد الإنزيمات الحفازة محل اهتمام ودراسة في العديد من الأبحاث ويعتمد عمل الإنزيم الثلاثي (Ser-His-Asp) على الخطوة الأولى وهي تكوين رابطة هيدروجينية بين السيرين والهستدين (Bunsi et al. 2000).

▪ تلعب الرابطة الهيدروجينية دوراً مهماً في انتشار الأدوية من خلال الجلد (Plessis et al. 2000). وفي جسم الإنسان اكتشف أن ذوبانية وانتشار الدواء له ارتباط وثيق بتكوين الروابط الهيدروجينية (Abraham et al. 2002).

- تنظم الروابط الهيدروجينية تفاعل الدواء في جسم الإنسان مثل الخشاح (Cango and Lahiri 2001) وخماسي زوسين Papaverine.
- تلعب الرابطة الهيدروجينية دوراً مهماً في تمييز سلاسل الأحماض الأمينية الأساسية وجزئيات تخزين الطاقة في البروتين مثل بكتيريوهودوبسين Bacteriorhodopsin's (Bell, Khasanov and Drew 2002).
- تساعد الروابط الهيدروجينية على استقرار المثبتات غير الأромاتية التي تتضمن مجموعة السلف تانوميد في جسم الإنسان (Francesco, Glaudiu and Gerhard 2002).
- تلعب الرابطة الهيدروجينية دور الوسيط لتنبيط تخرم السيرين serine، ولقد وجد أن هذا التنبيط يعتمد على قيمة الأس الهيدروجيني والازدحام الفراغي (Katz et al. 2003).
- من التطبيقات الحديثة للرابطة الهيدروجينية زيادة فعالية البلورات السائلة وذلك نتيجة تكوين رابطة هيدروجينية بين هذه البلورات مع الصبغات الثانوية المذابة فيها (Kijak et al. 2007).

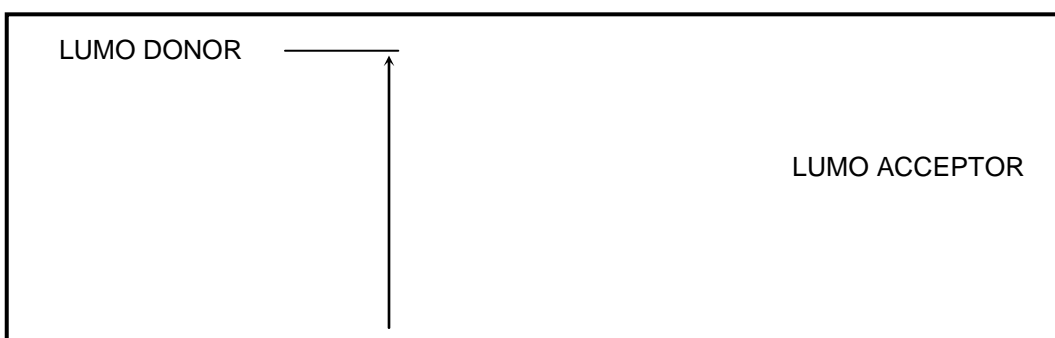
١-٢-١ - متراببات انتقال الشحنة:

1-2- Charge transfer complexes:

١-٢-١ - تعريف متراببات انتقال الشحنة:

1-2-1- Defination of charge transfer complexes:

تُعرف متراببات انتقال الشحنة على أنها تفاعل بين مانحات ومستقبلات إلكترونية والتي تتميز بانتقال إلكتروني للحالة المثارة وفي هذه الحالة يحدث انتقال للشحنة الإلكترونية من المانح إلى المستقبل، غالباً ما تكون لمتراببات انتقال الشحنة حزم امتصاص في منطقة الطيف المرئي، وتنتج الألوان المرافقة للمترابب المتكون في محلول من التداخل الإلكتروني بين المكونات حيث يكون للمانحات الإلكترونية جهد تأين منخفض وللمستقبلات الإلكترونية ألفة إلكترونية عالية، وإن جزءاً من تفاعلات انتقال الشحنة بين المانح والمستقبل عبارة عن قوة إلكتروستاتيكية جيدة وعادة ما تكون أضعف من الروابط الهيدروجينية أو الروابط التساهمية ولكنها مفيدة في إحداث الشكل البلوري في الحالة الصلبة، ويوضح شكل (2-1) ميكانيكية انتقال الشحنة (Mulliken and Person 1969; Haderski et al. 2000; Basavaiah and Charan 2002).



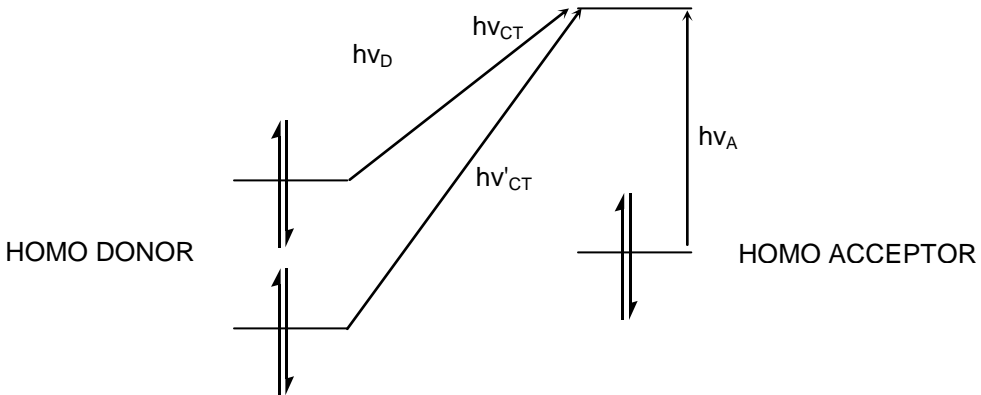


Fig. (1-2): Charge transfer transition of HOMOs of the donor compounds and LUMOs of the acceptor compounds.

ويبيّن الشكل أن لكل من المانح والمستقبل مدارات إلكترونية ممتلئة Higher Occupied Molecular Orbitals [HOMO] ومدارات إلكترونية فارغة Lower Unoccupied Molecular Orbitals [LUMO]. (Haderski et al. 2000)

وبالطبع فإن هناك طاقة امتصاص لكل من المانح والمستقبل وعند تفاعل المانح مع المستقبل تحدث انتقالات تحتوي على إثارة إلكترونية من المدارات الإلكترونية الممتلئة في المانح إلى المدارات الإلكترونية الفارغة في المستقبل وينشأ من ذلك حزم امتصاص مختلفة لمترافق انتقال الشحنة المتكون وغالباً ما تكون طاقة الامتصاص للمترافق المتكون منخفضة ومعتمدة على الحالة الابتدائية والنهائية للطاقة الإلكترونية لكل من المانح والمستقبل وبالتالي فهي تقع في منطقة الطيف المرئي.

إن معظم المانحات الإلكترونية الأكثر أهمية هي من الحلقات الخاميسية غير المتتجانسة أما المستقبلات المهمة فهي من البنزوكينونات مثل حمض الكلورانيليك chloranilic acid (CHA) والكلورانييل chloranil و 2,3-ثنائي كلورو-5,6-ثنائي سيانوبنزوكينون 2,3-dichloro-5,6-dicyano-benzoquinone (DDQ) كما يعتبر رباعي سيانو الإيثيلين

الشحنة عن طريق دمج المانح والمستقبل معاً مما يشجع التداخل المداري اللازم لإحداث عملية الانتقال الإلكتروني بين المانح والمستقبل (Muralikrishuna and Krishnamurthy 1982; Adikwu, Ofakarsi and Atlama 1999).

١-٢-٢ - أهمية مترابكبات انتقال الشحنة:

1-2-2-Importance of charge transfer complexes:

لاقت مترابكبات انتقال الشحنة اهتماماً كبيراً في المجالات المختلفة وذلك لأهميتها حيث أنها:

- تتوسط التفاعلات التي تحتوي على أنواع مختلفة من الإلكترونات الغنية أو المانحات النيوكلوفيلية والقواعد وكذلك المستقبلات الفقيرة في الكثافة الإلكترونية (Briebleb 1961; Andrews and Keefer 1969)

- تستخدم بوليمرات الموصلات الضوئية مثل البولي فينيل انثراسين وبولي فينيل كربازول تجارياً في التصوير الفوتografي الإلكتروني، وتستخدم كوسط لتخزين البطاريات ذات الأوزان الخفيفة وكذلك في الخلايا الضوئية الازمة لتحويل الطاقة الشمسية (Pearson 1977; Stolka, Pearson and Yanus 1977).

• لاقت متراكبات انتقال الشحنة لمشتقات الكربازول اهتماماً كبيراً حيث يستخدم البوليمر المكون من المانحات مثل بولي فينيل كربازول مع أنواع مختلفة من المستقبلات الإلكترونية كشبكة موصل في التصوير الجاف .(Pielichowski and Starzki 1986)

• استخدمت متراكبات إنتقال الشحنة في تفسير ارتباط المركبات الدوائية (Koroekovas 1998) وفي كيمياء السطوح (Andrade, Costa and Pansu 2000) وفي بعض مجالات الكيمياء الحيوية (Pullman 1968; Slifkin 1971; Kier 1971; Rich 1984).

• لاقت تفاعلات انتقال الشحنة لبعض المستقبلات الإلكترونية من نوع π نجاحاً في مجال تحليل العقاقير الصيدلانية (Abdine et al. 1998; Zhao et al. 1999).

• تعتبر تفاعلات انتقال الشحنة ذات أهمية في مجال ميكانيكيات تغليف الأدوية المستقبلة .(Mandal and Lahiri 1999)

• تمتض أنواع البوليمرات المختلفة الأشعة في المنطقة فوق البنفسجية، حيث يتم وضع المقويات مثل المستقبلات الإلكترونية بنسب ضئيلة لتوليد فجوات تؤدي إلى حدوث امتصاص في المنطقة المرئية، ويمكن تصور عملية انتقال الشحنة في هذه البوليمرات لأنها عملية انتقال الشحنة بين المانح والمستقبل، ويؤدي إضافة هذا المقوى إلى عملية انتقال الشحنة لتكوين الجزيئات بتمثيلها كcationon ريديكالي في البوليمر (Mandal and Lahiri 1999).

• وجد تكوين متراكبات انتقال الشحنة بين الأوليفينات والأزواج الإلكترونية وجزيئات الهالوجينات والهالوجينات الداخلية اهتماماً كبيراً في وقتنا الحاضر حيث أن هذه المتراكبات أثبتت جاذبيتها لكثير من علماء الكيمياء التجريبية والكيمياء النظرية.

▪ لقد أصبحت مترابكتات انتقال الشحنة ركيزة لأبحاث الطيف الدوراني Rotational spectroscopy والذي يمكن أن يعطينا معلومات قيمة عن التركيب الجزيئي ومعلومات عن ثابت القوة، ويمكن أن تعتبر هذه المعلومات دلالة على قوة الارتباط بين المانح والمستقبل، كما تمننا بمعلومات عن إعادة توزيع الشحنة في الهالوجينات والهالوجينات الداخلية التي تكون مترابكتات انتقال الشحنة، وقد أطلق العالمان ميلكان وبرسون على هذه المترابكتات $b\text{-}\pi\text{-}a\text{-}\sigma$ نتيجة انتقال الشحنة من مدارات π الممتنعة للمانح (القاعدة) إلى المدارات غير الممتنعة للمستقبل (الحمض) في المتراكب.

▪ في إنتاج مواد بصرية ذات كفاءة عالية (Bella et al. 1993).

▪ معظم مترابكتات انتقال الشحنة لها توصيلية إلكتروليتية حيث أنها أظهرت خواصاً توصيلية في العديد من التفاعلات الكيميائية (Chakraborty, Mukherjee and Seal 2001; Yakuphanoglu and Arslan 2004a, 2004b; Yakuphanoglu et al. 2005).

▪ ظهرت أهمية مترابكتات انتقال الشحنة وتأثير الاستقطابية في عمل نماذج لمترابكتات كاتيونات اليورانيل حيث تم دراسة التركيب الجزيئي والطاقة لكاتيون اليورانيل مع جزيئات الماء وأيونات النترات والكربونات وذلك باستخدام طرق نظرية وأعطت نتائج موافقة للنتائج العملية. أما بالنسبة للإنسان فهناك أنظمة للمانحات الإلكترونية تكون مرتبطة ببعض الأمراض مثل الاختلال العقلي واضطرابات الحركة والصم حيث تكون المانحات الإلكترونية مترابكتات انتقال شحنة مع جزيئات الميلانين وهي عبارة عن بوليمرات مثل بولي استيلين وبولي بيرول وبولي أنيلين في الجزء الأوسط من الجلد أو المخ (Goldberg, Valiunas and Brink 2004).

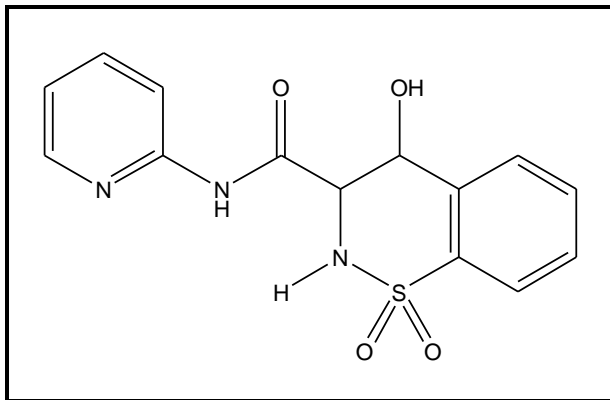
- تلعب الرابطة الهيدروجينية والانتقال البروتوني دوراً هاماً في متراكاتبات انتقال الشحنة وذلك من خلال زيادة أبعاد الشبكة البلورية المترسبة لإنتاج مركبات فوق جزيئية ذات توصيلية مرتفعة (Morita et al. 2008).

١-٣- أهمية أمينو البيريدينات:

1-3-Importance of aminopyridines:

لأمينو البيريدينات أهمية كبرى في المجالات المختلفة ومن أهم تطبيقاتها:

- تلعب الأمينات الأромاتية الحلقية غير المتجانسة دوراً هاماً في الطبيعة الحركية للعقاقير الطبية، كما أنها تشارك بشكل كبير في إنتاج الصبغات الطبيعية (Ivanskiy 1978، والصناعية والمواد البلاستيكية والأدوية Bishevskiy and Tersenov 1994).
- تدخل في العديد من التطبيقات الطبية (Pradas, Garcia and Sanchez 1990).
- تدخل في تحضير محليل منظمة لقياس الرقم الهيدروجيني لماء البحر (Millero et al. 1993).
- يدخل 2-أمينوبيريدين في صناعة الكثير من الأدوية الهامة مثل Piroxicam والذي تنتجه شركة Pfizer للأدوية تحت اسم Feldene ويستخدم هذا العقار كمسكن ومضاد لالتهابات المفاصل (Mammen and Schmidt 1995).



- تستخدم لتعيين الموضع النشطة في الفلافوإنزيم [flavoenzyme] (Deans and Rotell 1996).

- تدخل في تحضير البوليمرات المعروفة بإمبرينتيد بوليمر.(Jie and Xiwen 1999) [imprinted polymer].

- تم تقدير مجموعة من أيونات الفلزات القلوية والقلوية الأرضية والانتقالية باستخدام كواشف من أمينوبيريدينات.(Shakulashvili, Faller and Engelhardt 2000)

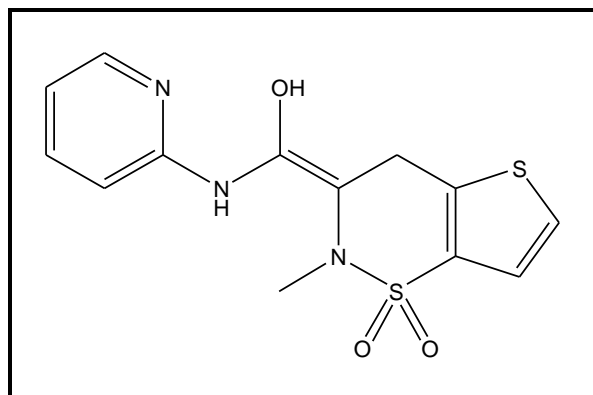
- تدخل في صناعة مواد حديثة تسمى النانوكومبسايت nanocomposite materials والتي تستخدم في التكنولوجيا كمثبتات ضوئية وأيضاً في عملية الفصل الجزيئية (Hitzky 2001).

- تلعب دوراً مهماً في الخواص الحيوية للسكريات العديدة .(Roger et al. 2002)

- تستخدم كمثبتات متخصصة وفعالة في بعض الأنظمة البيولوجية (Cote et

.al. 2003)

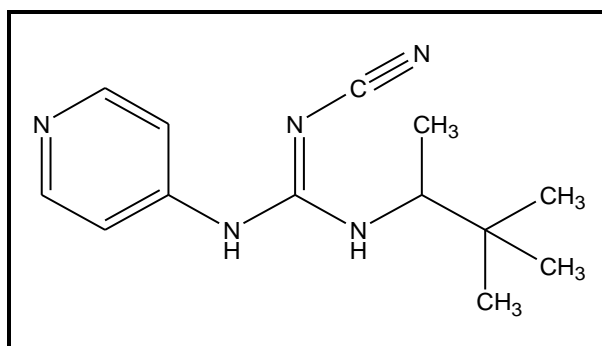
- يدخل 2-أمينوبيريدين في إنتاج عقار التينوكسيكام Tenoxicam والذي ينتج في شركة Roche تحت اسم تجاري موبيفلكس Mobiflex ويستخدم في علاج الالتهابات وأمراض خشونة المفاصل .(Barary et al. 2004)



- تمت دراسة خواص لويس الحمضية لمجموعة من الأكاسيد الفلزية عن طريق تتبع التغير في حزم الشد v_{C-D} ، v_{C-H} لأمينو البيريدين المتر على أسطح هذه الأكاسيد الفلزية .(Travert et al. 2006)
- تدخل في تكوين مجموعة من متراكبات الريثيوم التي أظهرت فعالية لمقاومة بعض أنواع البكتيريا (Kannan and Ramesh 2006)
- تستخدم في تقدير السيلينيوم الموجود في الخضروات بالطرق الطيفية عن طريق أكسدة 4-أمينوبيريدين بواسطة السلينيوم (IV) وبعد ذلك يتم التفاعل مع أحد مشتقات النفالين ليعطي ناتجاً له حزمة امتصاص عند 560 نانومتر .(Suvardhan et al. 2007)
- تم تقدير مجموعة من أيونات العناصر الانتقالية باستخدام قواعد شيف الناتجة من تفاعل

السلسالدھید مع أمینو البیریدین (Abdel-Latif, Hassib and Issa 2007).

- يدخل 4-أمینوبیریدین في صناعة الكثير من العقاقير الھامة مثل Pinacidil والذي يؤثر بدرجة كبيرة على تنظيم عمل مضخات الصوديوم والبوتاسيوم الأيونية لإیجاد فرق جهد كهربائي داخل وخارج الخلية العصبية لتنظيم مرور الإشارات العصبية (Korenke, Rivey and Allington 2008).



- تدخل أملاح 2-أمینو البیریدین في صناعة بلورات البصریات العضویة المبتكرة غير الخطیة [noval organic nonlinear optical crystal] (Anandh and Ramasamy 2009).

١-٤ - الدراسات السابقة:

1-4- Literature Review:

١-٤-١ - مترابکات الرابطة الهیدروجينیة والانتقال البروتونی:

1-4-1- Hydrogen bond and proton transfer complexes:

تعتبر الأطیاف الإلكترونية أداة مناسبة وملائمة لدراسة عمليات الانتقال البروتوني في العديد من أنظمة الروابط الهیدروجينیة، وفي كثير من الحالات تظهر تغيرات في الأطوال

الموجية البعيدة نتيجة لتكوين متراكم الانتقال البروتوني، وبناءً عليه يمكن تقدير ثوابت تكوين الانتقال البروتوني كمياً.

ولقد تمت مناقشة تأثير الرابطة الهيدروجينية على الطيف الإلكتروني بواسطة الكثير من العلماء حيث بينت إحدى الدراسات أنه في حالة تكوين روابط هيدروجينية عادية يكون الطيف الإلكتروني للجزئيات الحرة مزاحماً إلى قيم متوسطة (Pimental and McClellan 1960; Davis 1968; Mataga and Kubota 1970).

ومن أفضل الأنظمة التي تم دراستها وتحتوي على الانتقال البروتوني الأنظمة التي تتكون بين مشتقات الفينول والقواعد الأليفاتية، حيث لا يحدث تداخل بين انتقالات $\pi-\pi^*$ للحمض وانتقالات $n-\sigma$ للفاعدة والتي تظهر عند منطقة الأطوال الموجية القصيرة (Romanowski and Sobczyk 1975; Hamed et al. 1995).

ولقد درست بشكل واسع الأطيفات الإلكترونية لمشتقات أحادي وثنائي وثلاثي نيتروفينول مع أمينات الأليفاتية أو حلقية، حيث تم إثبات تكون متراكم الانتقال البروتوني، وذلك بسبب ظهور حزمة امتصاص تقع تقريرياً عند نفس الطول الموجي المطابق لأيون الفينوكسيد phenoxide. فمثلاً الطيف الإلكتروني لخلط من الأمينات الأليفاتية أو الحلقة مع 2,4-dinitrophenol في المذيبات الأروماتية يشير إلى تكون متراكم رابطة هيدروجينية عند طول موجي يكافئ الطول الموجي للفينول في الماء (Bayles and Evans 1965)، وهذا يُعزى إلى تكوين رابطة هيدروجينية عادية، ولكن متراكبات 2,6-dinitrophenol تُظهر إزاحة مماثلة تماماً لإزاحة الفينول في الوسط المائي القلوي، مما يدل على تكون متراكم الانتقال البروتوني (Bell and Crooks 1962) وبطريقة مشابهة فإن الطيف الإلكتروني لـ

و بذلك pentachlorophenoxide و Triethylamine هو طيف أيون pentachlorophenol نستدل على تكون مترافق الانتقال البروتوني (Malarski et al. 1982).

وقد تم دراسة تكون مترافق الانتقال البروتوني بين 2,4-dinitrophenol وأمينات اليفاتية في البنزين والذي يحتوي على كميات قليلة من مذيبات مانحة للإلكترونات وكانت النتيجة مدعمة لمفهوم المدى القصير للمذيب [تكون رابطة هيدروجينية بين الأمين والمذيب] (Berman et al. 1987).

درس كل من Broda and Hawranek تأثير قوة الرابطة الهيدروجينية على عملية الانتقال البروتوني وقد أعطت الدراسة معلومات كثيرة عن التغيرات الحادثة في تردد حزمة $\nu_{(NH)}$ مع زيادة قوة الرابطة الهيدروجينية (Broda and Hawranek 1987).

وتعطي دراسات أطیاف الأشعة فوق البنفسجية معلومات مفيدة حول تركيب مترافقات الانتقال البروتوني في مذيبات مختلفة التركيب، حيث تم دراسة تكوين مترافقات انتقال بروتوني بين الأنيلينات المختلفة وأحماض كربوكسيلية في الهكسان الحلقي ونظام الهكسان الحلقي/ حمض الخليك، ولقد وجد أنه عند التراكيز العالية لحمض الخليك يتكون مترافق الانتقال البروتوني والذي يشتمل على مشاركة بروتونات الأمينات الأولية والثانوية مع حمض الخليك (Khan and Scott 1988).

درس Szafran et al. عملية الانتقال البروتوني بين البييريدينات وحمض الخليك حيث أثبت أن التغير في اهتزاز الشد لحلقة البييريدين وتردد مجموعة الكربونيل دلالة على تكوين المترافقات الهيدروجينية كما تمكن من تقدير هذه البييريدينات عن طريق تتبع التغير في اهتزاز الحلقة (Szafran, Dulewich and Szafran

.1988)

درس Ye et al. عملية الانتقال البروتوني بين 2،4-ثنائي نيتروفينول مع الأمينات الأليفاتية حيث أثبتت الدراسة زيادة قيمة ثابت التكوين بين الفينول والأمين بسبب عملية المدى القصير للتذويب والتي تزيد من الكثافة الإلكترونية على ذرة النيتروجين أكثر من التأثير التحريري لمجموعة الألكيل (Ye et al. 1988).

قام Kalenik et al. بدراسة عملية الانتقال البروتوني بين حمض البنزويك والأمينات بواسطة طيف الأشعة تحت الحمراء حيث لاحظ ارتفاع في قيمة اهتزاز مركز الجاذبية للمتراكبات المدروسة (Kalenik et al. 1990).

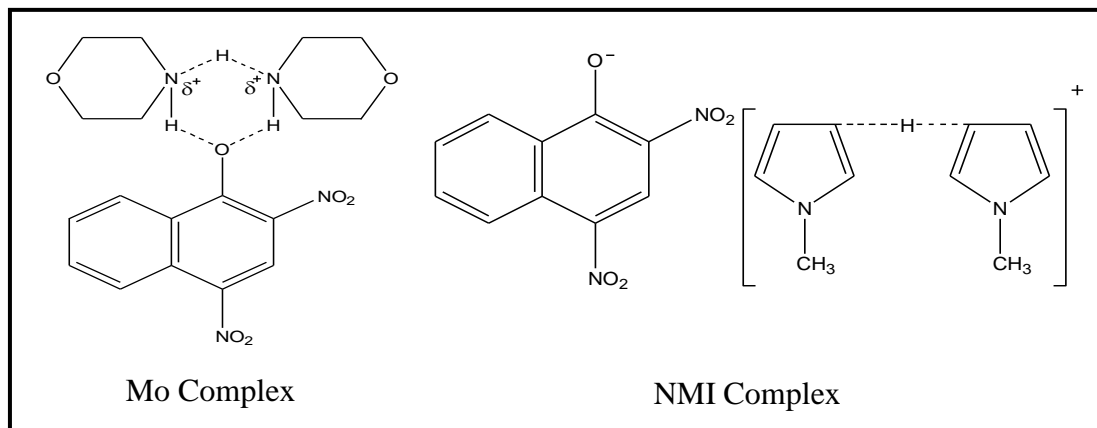
قام Habeeb et al. بدراسة عملية الانتقال البروتوني بين الفاسيكولين ومجموعة الهيدروكسيل الفينولية في قواعد مانش حيث تكونت متراكبات ثلاثة ارتباط الهيدروجيني في حالة القواعد الضعيفة أما في حالة القواعد القوية فقد تكونت متراكبات ثنائية الارتباط الهيدروجيني (Habeeb et al. 1993).

قام Gohar et al. بدراسة تأثير مجموعات الاستبدال على تكوين متراكبات الانتقال البروتوني وانتقال الشحنة باستخدام طيف الأشعة المرئية وفوق البنفسجية، كما وجد علاقة جيدة بين ثابت هامت Hammett's Constant وثابت التكوين لمتراكبات الانتقال البروتوني، وقد استخدمت هذه الدراسة لنقدير عدد كبير من مركبات [(substituted benzilidene)dithio] diacetat (Gohar et al. 1995).

درس Hamed et al. ثابت تكوين متراكبات الانتقال البروتوني بين 2,4-dinitro-1-naphthol مع أمينات أليفاتية في البنزين المحتوي على مذيبات مانحة للإلكترونات مثل

ثنائي ميثيل سلفوكسيد DMSO وثنائي ميثيل فورماميد DMF أو الدايوكسان، حيث وجد أنه بزيادة النسبة المئوية للمذيب المانح للإلكترونات والمرتبط بهيدروجين الأمين الأولي أو الثاني تزداد الكثافة الإلكترونية على ذرة النيتروجين مما يؤدي إلى تكوين متراكب الانتقال البروتوني والذي يمكن تقديره كمياً (Hamed et al. 1995).

وتزودنا الأطياف الإلكترونية بمعلومات جيدة عن طبيعة متراكبات الانتقال البروتوني للنظام 2,4-dinitro-1-naphthol مع أمينات متنوعة حيث يمكن تكون متراكبات انتقال بروتوني بنسبة 1:2 كما يشاهد في البنيات التركيبية للمورفولين (Mo) أحادي- ميثيل إيميدازول (N-MI) التالية والتي يظهر فيها انتقال للشحنة (Habeeb et al. 1995).

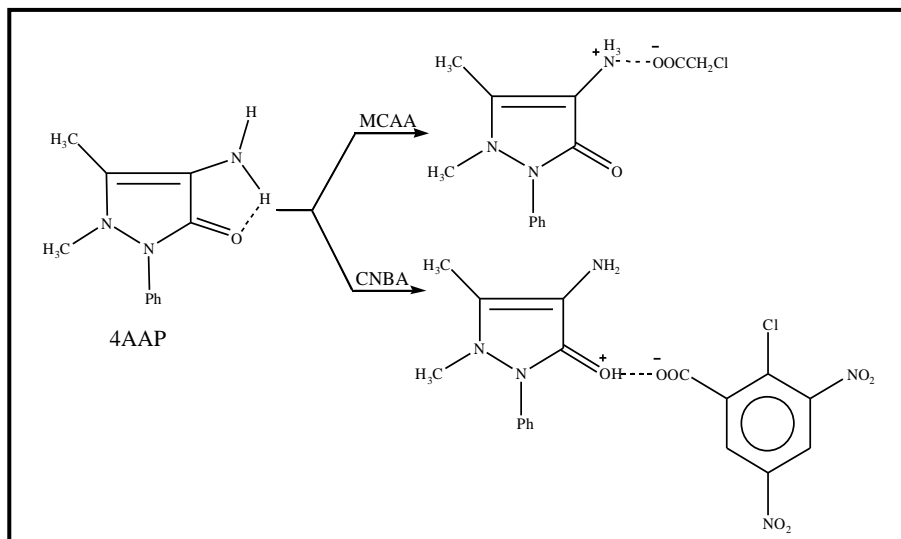


قام Houben et al. بدراسة عملية الانتقال البروتوني بين حمض الهيدروكلوريك ومجموعة من الأمينات باستخدام طيف فوريير للأشعة تحت الحمراء حيث تم إثبات تكوين روابط هيدروجينية بين الحمض ومجموعة الأمين (Houben, Schoone and Meas 1996).

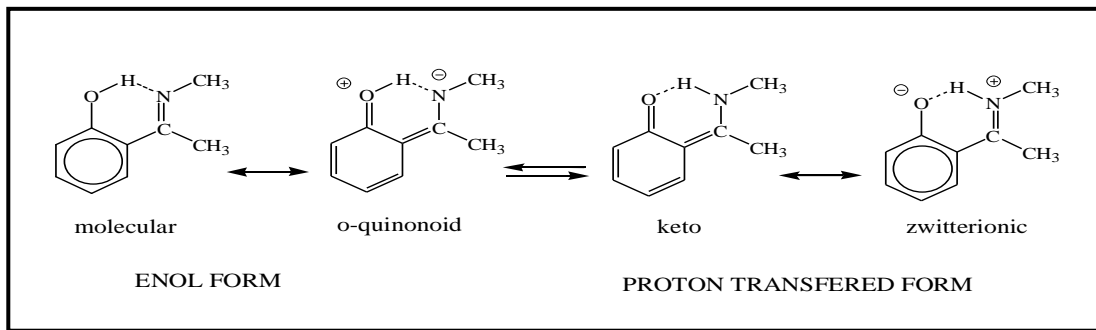
درس Lautia and Belabbes طيف الأشعة تحت الحمراء لمتراتكبات حمض الأكساليك مع مشتقات البيريدين وقد وجد أن عملية الانتقال البروتوني تعتمد على درجة القاعدية للأمينات المدرستة (Lautia and Belabbes 1996).

قام Habeeb بدراسة الطيف الإلكتروني لمتراتكبات الروابط الهيدروجينية بين حمض الكلورانيليك والعديد من الأمينات الأليفاتية والأروماتية، حيث تم تحديد حزمة امتصاص متراتك البروتوني والتي استخدمت في حساب ثابت التكوين، وأيضاً تم دراسة الظروف التحليلية التي تؤثر في هذه الدراسة (Habeeb 1997).

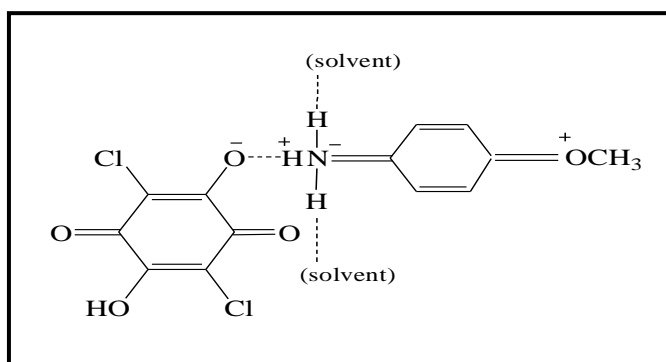
درس Habeeb and El-Kholy استقرار متراتكبات الروابط الهيدروجينية بين مشتقات مختلفة من 4-أmine انتي بايرين 4-aminoantipyrine والفينولات، واستخدمت حزمة الانتقال البروتوني لتقدير هذا المركب ووجد أن طبيعة متراتك البروتوني تعتمد على نوع الحمض، حيث أن الأحماض الأروماتية مثل 2-كلورو-5,3-ثنائي نيترو حمض البنزويك (CNBA) 2-chloro-3,5-dinitrobenzoic acid بينما الأحماض الأليفاتية مثل أحادي كلورو حمض الخليك (MCAA) monochloro acetic acid تتفاعل مع مجموعة الكربونيل بينما تتفاعل مع مجموعة الأمين كما يوضح المخطط التالي (Habeeb and El-Kholy 1997).



قام Filarowski et al بدراسة تأثير كل من المذيب ودرجة الحرارة على الانتقال البروتوني الموجود في نفس الجزيء باستخدام طيف الأشعة فوق البنفسجية والأشعة المرئية في قواعد شيف Schiff bases لمشتقات 2-إي-ميثيل -الفا-أمينو إيثيل فينول استبدال ذرة الهيدروجين 2-(N-methyl- α -aminoethyl)-phenol وأثبتت النتائج أن بميثيل أو إيثيل أو فينيل في $\text{C}-\text{C}(\text{H})=\text{N}$ يزيد من قوة الرابطة الهيدروجينية الداخلية مصحوبة بالرنين المساعد (Filarowski, .Glowiak and Coll 1999)



درس Gohar and Habeeb تكوين مترادات الانتقال البروتوني المتكونة بين حمض الكلورانيليك وسلسلة كبيرة من مستبدلات الأنيلين في الدايوكسان باستخدام أطيف الأشعة فوق البنفسجية والمرئية، حيث أكدت الدراسة أن المترادف يتكون بنسبة 1:1، وكذلك تم دراسة تأثير الحرارة على ثباتية المترادات المدروسة (Gohar and Habeeb 2000).



قام Borisenko et al. بدراسة تأثير موقع مجموعة الأمين NH_2 في حلقة البيريدين على قابلية المنح البروتوني للنيتروجين الحلقي وقد وجد أن قابلية المنح البروتوني تزداد حسب الترتيب التالي: ميتا، أرثو، بارا أمينوبيريدين كما تم تعين قيم ثابت التكوين والمحتوى الحراري لهذه المترآبات في مذيبات مختلفة (Borisenko et al. 2001).

درس Habeeb et al. الانتقال البروتوني كمياً بين مجموعة من الأمينات الأليفاتية والأرماتية الثلاثية مع 5,2-ثنائي هيدروكسي بنزو كينون dihydroxybenzoquinone عند 520 نانومتر، وقد بيّنت الدراسة أن مترآبات الانتقال البروتوني مع الأمينات الأليفاتية أكثر ثباتاً من الأمينات الأرماتية الثلاثية، وذلك يتفق بشدة مع قاعديتها العالية (Habeeb et al. 2001a).

قام El-Kemary et al. بدراسة وتقدير 2-أmino-4,6-dimethylepyrimidine طرق تكوين مترآبات ارتباط هيدروجيني مع بيتا-سيكلوديكسترين و كانت نسبة تكوين المترآبات 1:1 و 1:2 .(El-Kemary et al. 2002)

درس Habeeb and Gohar الطيف الإلكتروني لبعض مركبات أمينو انثرا كينون مع ثلاثي كلورو حمض الخليك Trichloroacetic acid Aminoanthraquinones متعددة، حيث تم تتبع تكون الرابطة الهيدروجينية المصحوبة بانتقال الشحنة من خلال إضافة الهيدروجين أو البروتون إلى الزوج الحر من الإلكترونات على ذرة نيتروجين مجموعة

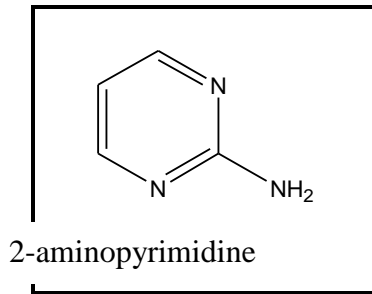
الأمين. ولقد تم ملاحظة تناقص شدة كثافة الانتقال من نوع $n-\pi^*$ ، وقد وجد أن ثابت التكوين يتأثر بقوة بالمذيب، كما تم عرض العلاقة بين كل من الامتصاصية والتركيز والنسبة الجزيئية للمترآكبات المتكونة (Habeeb and Gohar 2003).

قام Habeeb and Kharaba بدراسة ثوابت التكوين والنسبة الجزيئية للعديد من أنظمة الفينولات مع أمينات أليفاتية مختلفة في الميثانول والأسيتونيتريل، وسجلت النتائج زيادة كبيرة في ثوابت التكوين تعود لتكوين روابط هيدروجينية تنافسية (Habeeb and Kharaba 2003).

قام Lynch and McClenaghan بدراسة مجموعة من مترآكبات البييريميدين التي تحتوي على مجموعات استبدالية مختلفة حيث تم وضع تصور للروابط الهيدروجينية الداخلية لهذه المترآكبات (Lynch and McClenaghan 2004).

درس Kitamura et al. الارتباط الهيدروجيني بين مجموعة من مشتقات ميثوكسي أمينوبييريدينات مع حمض الخليك حيث وضحت الدراسة تكون روابط هيدروجينية مزدوجة بين حمض الخليك ومجموعة الأمين وهيدروجين الحلقة في المركبات المدرستة (Kitamura et al. 2007).

قام Borisenko et al. بدراسة تأثير المستبدلات على قابلية المنح البروتوني والارتباط الهيدروجيني في 2-أمينوبيريميدين 2-aminopyrimidine ولقد تم تعين ثوابت التكوين والمعاملات الحرارية (Borisenko et al. 2008).



درس Chitra et al. الارتباط الهيدروجيني بين 2-أمينوبيريدين وحمض الماليك حيث
بينت الدراسة أن المتراكبات تتكون بنسب جزيئية مختلفة (Chitra et al.
.2009).

درس Habeeb et al. متراكبات الارتباط الهيدروجيني والانتقال البروتوني بين 6,2-ثنائي كلورو-4-نيتروفينول مع مجموعة من البريميدينات مختلفة القاعدية حيث تم اثبات التركيب الجزيئي وتقدير هذه البريميدينات في مدى واسع من التراكيز (Habeeb et al. 2009).

١-٤-٢- متراكبات انتقال الشحنة:

1-4-2- Charge transfer complexes:

درس Koinata and Nagakura عزم ثانوي القطب لمتراكبات انتقال الشحنة المكونة بين اليود I_2 كمستقبل إلكتروني مع كثير من الأمينات الأليفاتية في البنزين والدايوكسان، واعتمدت قيمة عزم ثانوي القطب على تركيز الأمينات حيث تزداد قيمته بزيادة تركيز الأمين (Koinata and Nagakura 1966).

قدر Bhat and Rao عزم ثانوي القطب لمتراكبات انتقال الشحنة بين بعض مركبات الكبريت والأكسجين كمانحات للإلكترون مع اليود كمستقبل للإلكترون، وذلك من

خلال حساب طاقة انتقال الشحنة وحرارة التكوين، ولقد وجد أن انتقال الشحنة في حالة مركبات الكبريت أكبر من مركبات الأكسجين .(Bhat and Rao 1968)

قام Slifkin and Walmsley بدراسة طبيعة المترآكبات المتكونة بين حمض الكلورانيليك والأحماض الأمينية ووجد أن المترآكبات تتكون بنسبة 1:1 في محلول وبنسبة 1:2 في الحالة الصلبة (Slifkin and Walmsley 1969).

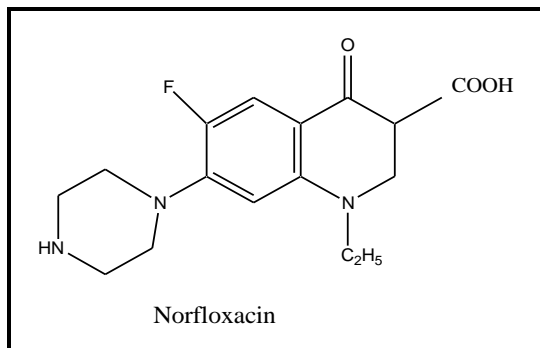
درس Srivastava and Prasad مترآكبات انتقال الشحنة المتكونة بين DDQ وبعض مشتقات البنزرين، وقد تمت دراسة الشكل الطيفي وثبتت الاتزان لهذه المترآكبات، كما سُجلت القابلية الإلكترونية لـ DDQ وكانت 1,974 إلكترون فولت، وقد بينت الدراسة اعتماد طاقة انتقال الشحنة على طاقة جهد التأين للمانح (Srivastava and Prasad 1970).

درس Chrisyian and Grundnes مترآكبات انتقال الشحنة بين اليود ورباعي سيانو إيتلين وسيانيد الكربونيل مع مانحات إلكترونية في الحالة الغازية وأعطت الدراسة ثوابت تكوين مرتفعة ومعاملات امتصاصية مولارية منخفضة وبيّنت النتائج أن المترآكبات تكونت بنسبة 1:1 (Chrisyian and Grundnes 1976).

وصف Agarwal and El-Sayed طريقة المعايرة الطيفية لتقدير بعض القلويّدات وبعض الجرعات الدوائية باستخدام محلول 5×10^{-3} مولار من حمض الكلورانيليك في مذيب الديوكسان كما اقترحوا طريقة مربعات النهايات الصغرى لتقدير نقطة التكافؤ من البيانات الطيفية ومقارنتها مع نقطة التكافؤ المقدرة عملياً (Agarwal and El-Sayed 1981).

درس Abdel-Hamid et al. طريقة بسيطة وحساسة لتقدير البنتازوسين pentazocine اعتمدت الطريقة على تكوين متراكب انتقال شحنة ملون ومستقر بين البنتازوسين كمانح إلكتروني من نوع $n\pi$ مستقبل من نوع π وقد تم دراسة الظروف التحليلية والمؤثرة على تكوين المتراكب والتي بينت دقة الطريقة المستخدمة (Abdel-Hamid et al. 1984).

وصف Amin et al. طريقة طيفية بسيطة وحساسة لتقدير النورفلوكساسين norfloxacin اعتماداً على تفاعل انتقال الشحنة بين الدواء كمانح من نوع π مع CHA و TCNQ و DDQ والكلورانييل كمستقبلات من نوع π لتكوين متراكبات ملونة ومستقرة، وتم تحديد الظروف المثالية للتفاعل حيث كان مدى قانون بيير يتراوح ما بين 10-400 ميكروجرام/مل (Amin, El-Sayed and Issa 1995).

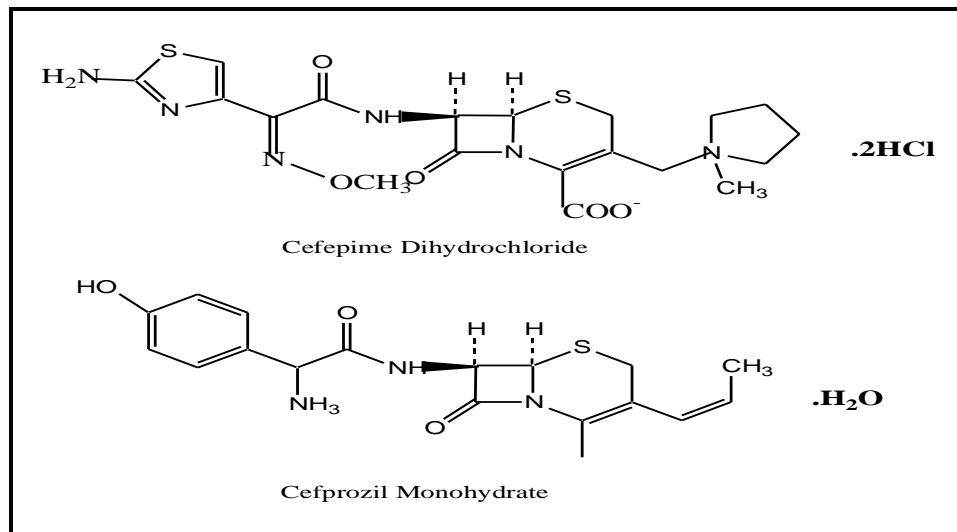


اقتراح Revanasiddappa and Ramappa طريقة طيفية سريعة وحساسة لتقدير الكمي لبعض مشتقات الفينوثيازين phenothiazine في الصورة النقية والصيدلانية واعتمدت الطريقة على تكوين متراكبات انتقال شحنة ذات اللون الأحمر مع حمض الأيوبيك، وقد تم دراسة الظروف التحليلية للتفاعل، كذلك بينت الدراسة توافق الطريقة المقترحة مع الطريقة الدستورية من حيث الدقة والمصداقية (Revanasiddappa and Ramappa 1996).

درس Iwamoto and Okumura تأثير وجود مجموعات استبدالية مستقبلة للشحنة في الوضع بارا لمركب ثائي فينيل الإيثر حيث بينت الدراسة أنها تؤدي إلى صلابة الجزيء

وعدم تطابق حلقتي الفينيل، ومن جهة أخرى بينت الدراسة تطابق حلقتي الفينيل في غياب المجموعات الاستبدالية المستقبلة للإلكترونات وقد اعتمدت الدراسة على استخدام نظرية المدارات الجزيئية [Iwamoto and Okumura 1998) [CNDO/S-CC].

قدم Abdel-Sattar et al. طريقة قياس طيفية لتقدير السيفيبيم والسيفبروزيل cefepime and cefprozil في الصورة النقية والصيدلانية وذلك عن طريق تكوين متراكبات انتقال الشحنة بين تلك المركبات كمانحات إلكترونية مع مستقبلات من نوع π مثل رباعي سيانو بنزوكينون (Abdel-Sattar et al. 2001).

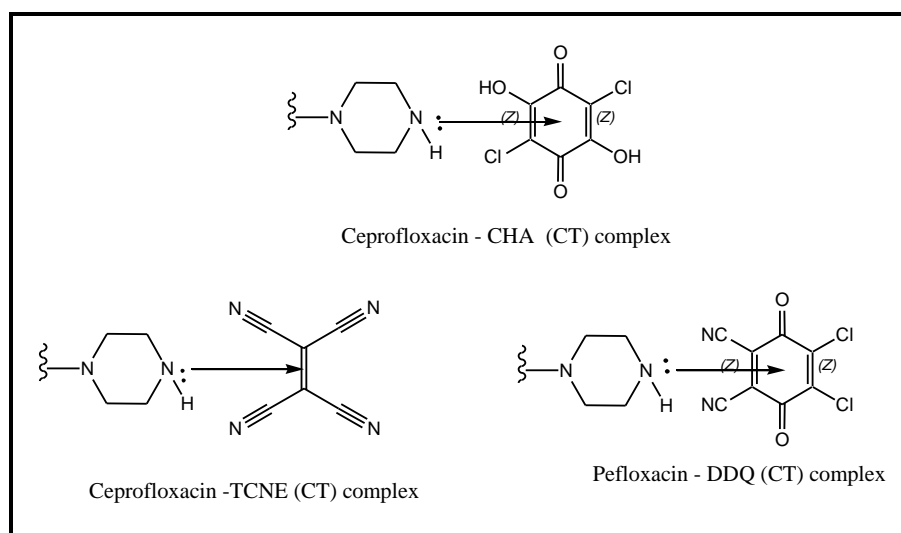


قام Saleh et al. بتقدير بعض مضادات السيفالوسبورين cephalosporin عن طريق التحليل الطيفي، واعتمد هذا التحليل على تكوين متراكبات انتقال الشحنة بين هذه الأدوية في صورتها النقية ومستحضراتها الصيدلانية حيث تكون مانحة للإلكترون من نوع n مع مستقبلات من نوع σ مثل اليود وأيضاً مع مستقبلات من نوع π مثل TCNQ و DDQ و في مذيبات قطبية مختلفة، وكان القياس عند 364 نانومتر في حالة اليود في مذيب 1-ثنائي كلوروإيثان وعند 460 نانومتر في حالة (DDQ) في مذيب الميثanol وعند 843 نانومتر في حالة (TCNQ) في مذيب الأسيتونيترييل، ووجد أنها تتبع قانون بير في مدى جيد

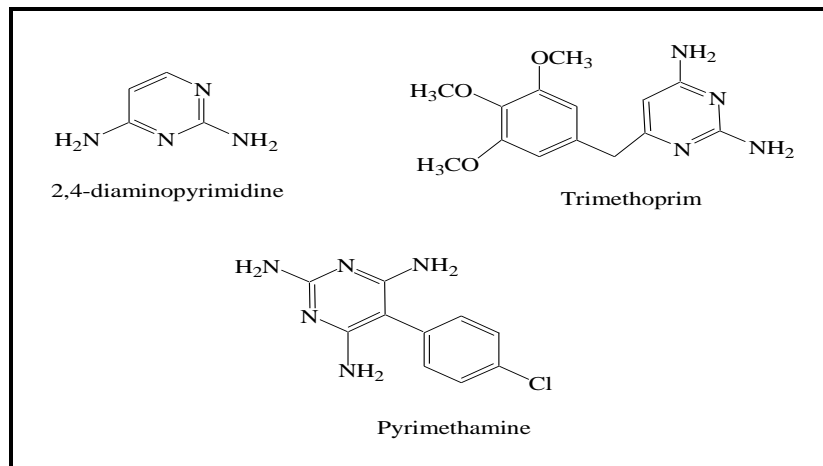
من التراكيز مما يدل على حساسية الطريقة، كما تم حساب ثابت التكوين باستخدام معادلة Benesi-Hildebrand وكذلك دراسة تركيب هذه المتراكبات ومرانز الارتباط فيها باستخدام تقنية الأشعة تحت الحمراء والرنين النووي المغناطيسي (Saleh et al. 2001).

درس Boraei متراكبات انتقال الشحنة بين بعض مشتقات البيرازول كمانحات للإلكترون مع بعض المستقبلات من نوع π في مذيب ثنائي كلوروميثان عند درجة حرارة 25°C، كما قام بحساب ثابت التكوين وبعض المعاملات الحرارية، وعُينَ النسبة الجزيئية لها وكانت بنسبة 1:1 (D:A) من نوع $n-\pi^*$ (Boraei 2002).

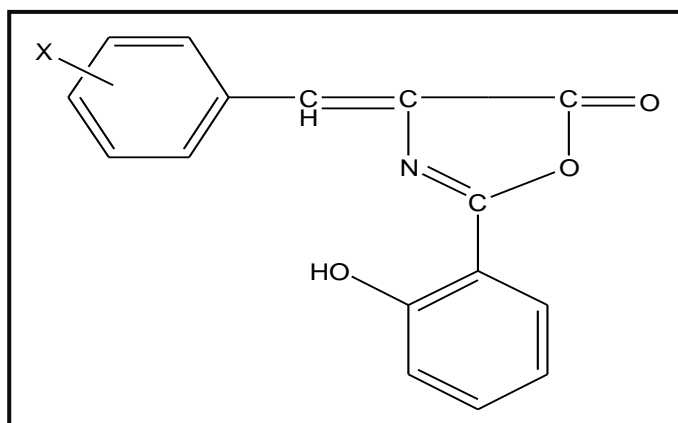
وصف Mostafa et al. طريقة طيفية لتقدير مضادات البكتيريا من مشتقات الكينولون من خلال تكوين متراكبات انتقال الشحنة بينها وبين ثلاثة من المستقبلات المختلفة CHA و DDQ و TCNE وقد بيّنت نتائج التحاليل الإحصائية أنه لا يوجد فرق بين الطريقة المدروسة والطريقة الدستورية .(Mostafa, El-Sadek and Alla 2002)



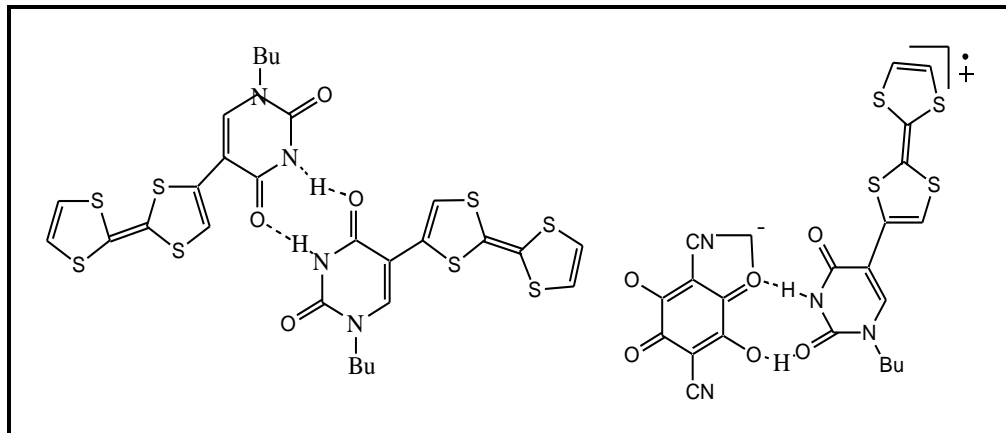
درس . Numan et al طريقة تحليل طيفية لمشتقات 4،2-ثنائي أمينو بيريميدين وقد اعتمد في تقديره على تكوين متراكبات انتقال شحنة ملونة مع البنزوكيتونات والتي تمتص عند 500 نانومتر وقد تم وصف الظروف المثالية لهذا التقدير مثل تأثير pH ودرجة الحرارة والزمن والمذيبات، بالإضافة إلى حساب الامتصاصية الجزيئية للمتراكبات، كما تم تقدير هذه المركبات في بعض المستحضرات الصيدلانية (Numan, Musial and Danielson 2002).



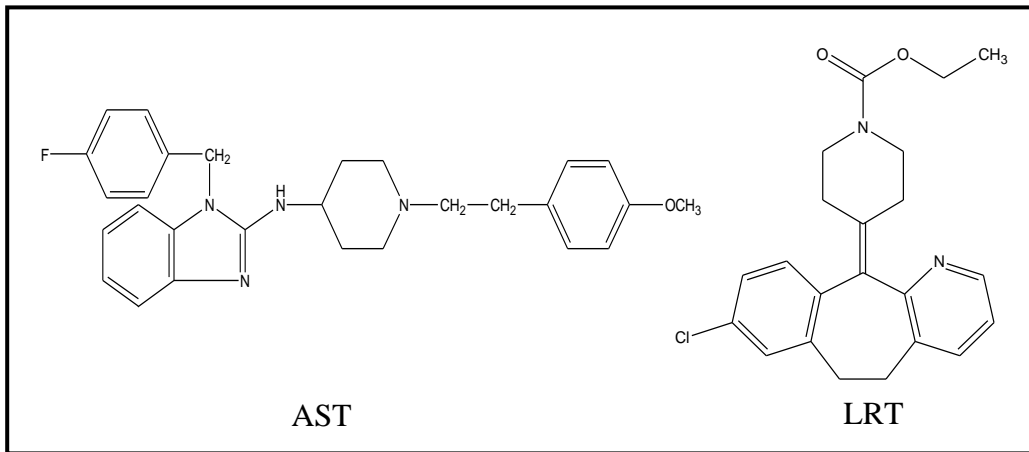
درس El-Mossalamy et al. متراكبات انتقال الشحنة بين مشتقات الأوكسازولون oxazolone مع اليود كمستقبل من نوع σ في ثائي كلوروميثيلين CH_2Cl_2 عند 20°C ، وقام بحساب ثوابت الاستقرار للمتراكبات بدالة قطبية المذيب والتركيب الجزيئي للمانحات الإلكترونية، وتم تحضير المتراكبات الصلبة ووجد أن انتقال الشحنة من نوع $^*\sigma-n$ ، وتم حساب بعض المعاملات الحرارية لهذه المتراكبات (El-Mossalamy, Amin and Khalil 2002).



حضر Morita et al. مانح إلكتروني جديد عبارة عن رباعي كبريت الفولفالين متصل بحلقة البيوراسيل وبينت دراسة الطيف الإلكتروني وطيف الأشعة تحت الحمراء تواجد هذا المركب في صورة متعدد ثنائي من خلال ارتباط هيدروجيني ثلثائي بين مجموعتي البيوراسيل كما يوضح الشكل التالي. وقد تم دراسة متراكب انتقال الشحنة لهذا المركب مع ثلثائي سيانو بنزوكينون والذي أعطى توصيلية كهربائية مرتفعة (Morita et al. 2002).



وصف Basavaiah and Charan طريقة طيفية بسيطة وحساسة لتقدير بعض مضادات الحساسية مثل الاستيميزول (AST) واللوراتادين (LRT), Loratadine (ASTemizol). وقد اعتمد التقدير على تكوين متراكبات انتقال الشحنة بينها وبين حمض الكلورانيليك كمستقبل من نوع π في مذيب الأسيتونيترييل وقد تم حساب ثابت التكوين لكلا المضادين وحساب بعض المعاملات الكمية، كما بينت الدراسة أنه يمكن تطبيق هذه الطريقة لتقدير الكثير من هذه المضادات في المستحضرات الصيدلانية (Basavaiah and Charan 2002).



تمكن Al-Attas من تقدير بعض مركبات السلفا وبعض مشتقات حمض النيكوتينيك كمانحات للإلكترونات من نوع n أو π في الصورة النقية والمستحضرات الدوائية بنسبة جزئية 1:1 باستخدام القياسات الطيفية والتوصيلية الكهربائية في الوسط المائي ومخلوط من الوسط المائي والمذيب العضوي عند درجات حرارة في المدى من $25^{\circ} - 35^{\circ}$ باستخدام صبغة سفرانين ت وصبغة فينيوسفرانين كمستقبلات من نوع π وذلك بتكوين متراكيبات انتقال الشحنة وطبق قانون بير لتحديد مدى التراكيز وقد بينت النتائج أن الطريقة المقترنة دقيقة وحساسة وسريعة وذات مصداقية عالية وغير مكلفة ومطابقة للطريقة الدستورية .(Al-Attas 2002a, 2002b, 2003a, 2003b)

درس Habeeb السلوك الطبيعي وتقدير بعض المركبات البيولوجية التي تحتوي على مراكز نيتروجينية اعتماداً على تكوين روابط هيدروجينية مصحوبة بطيف انتقال

الشحنة وقد اعتمدت الدراسة على استخدام طيف الأشعة فوق البنفسجية والمرئية وطيف الأشعة تحت الحمراء (Habeeb 2003).

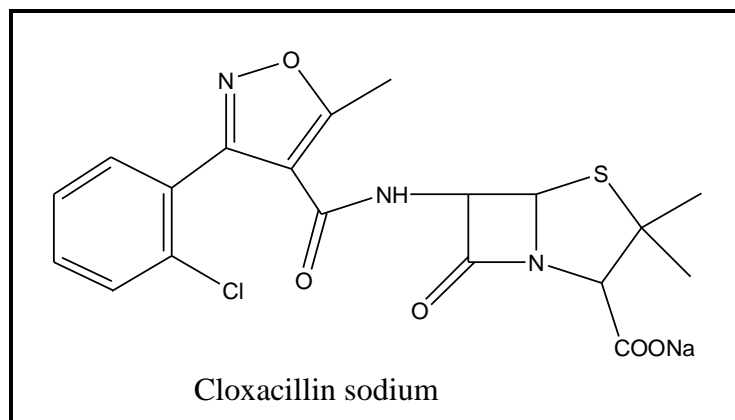
درس Aloisi and Pgenataro درس متراكبات انتقال الشحنة المتكونة بين مشتقات thiophenols كمانحات من نوع π مع بعض المستقبلات من نوع π أو σ مثل DDQ والكلورانيل واليود، ومن طاقة انتقال الشحنة تم حساب جهد التأين للمانحات الإلكترونية (Aloisi and Pgenataro 2003).

درس Oza et al. طيف الأشعة تحت الحمراء لمتراكبات انتقال الشحنة المتكونة بين الفوثالوسيانين phthalocyanine مع مستقبلات مختلفة مثل اليود و 7,5,4,2- رباعي نيترو-9-فلورينون TCNE و DDQ و 2,4,5,7-tetranitro-9-fluorenone (Oza et al. 2004).

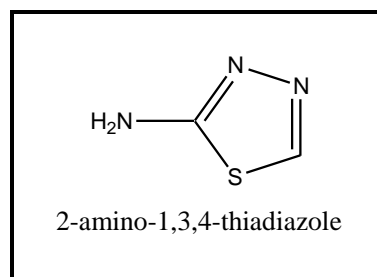
استخدم Basavaiah طريقة طيفية لتقدير الكثير من الأدوية الشائعة وهي البسيكوتروبيك Psychotropic والفينوثيازين Phenothiazine حيث تعتمد هذه الطريقة على تكوين متراكبات انتقال الشحنة الملونة بين هذه الأدوية كمانحات للإلكترونات من نوع n مع حمض الكلورانيليك كمستقبل للإلكترونات من نوع π وأظهرت هذه الأدوية امتصاصية عند طول موجي 535 نانومتر، وتم حساب بعض المعاملات الكمية، كما طبق قانون بير لتحديد مدى التراكيز وقد بينت النتائج أن الطريقة دقيقة وحساسة كما تم تطبيق هذه الطريقة لتقدير بعض المضادات الحيوية في المستحضرات الصيدلانية وكانت الطريقة المقترحة مطابقة للطريقة الدستورية (Basavaiah 2004).

درس Roy et al. متراكبات انتقال الشحنة بين كلوكساسيلين الصوديوم Cloxacillin sodium وعدد من المستقبلات الإلكترونية مثل DDQ والكلورانيل في محلول

مائي 50% من الإيثانول، وقد تم تعين جهد التأين للمركب المدروس وكانت قيمته 7,89 إلكترون فولت، كما تم تعين المعاملات الحرارية وأيضاً تم حساب ثابت التكوين عند خمس درجات مختلفة، وحسبت القوة المتذبذبة وعزم ثنائي القطب الانتقالالي لهذه المترافقات، كما تم تعين النسبة الجزيئية فوجدت أنها تتكون بنسبة 1:1:1 (Roy, Saha and Mukherjee 2005).



قام Gaber and Shihry بدراسة مترافقات انتقال الشحنة المكونة بين 2-أmineo-4,3,1-thiadiazole كمانح للإلكترون مع العديد من المستقبلات الإلكترونية بطريقة التحليل الطيفي، حيث تم تطبيق معادلة Benesi-Hildebrand وطريقة جوب لنقدير ثابت النسبة الجزيئية للمترافق، كما تم حساب الامتصاصية الجزيئية وعزم ثنائي القطب (Gaber and Al-Shihry 2005).



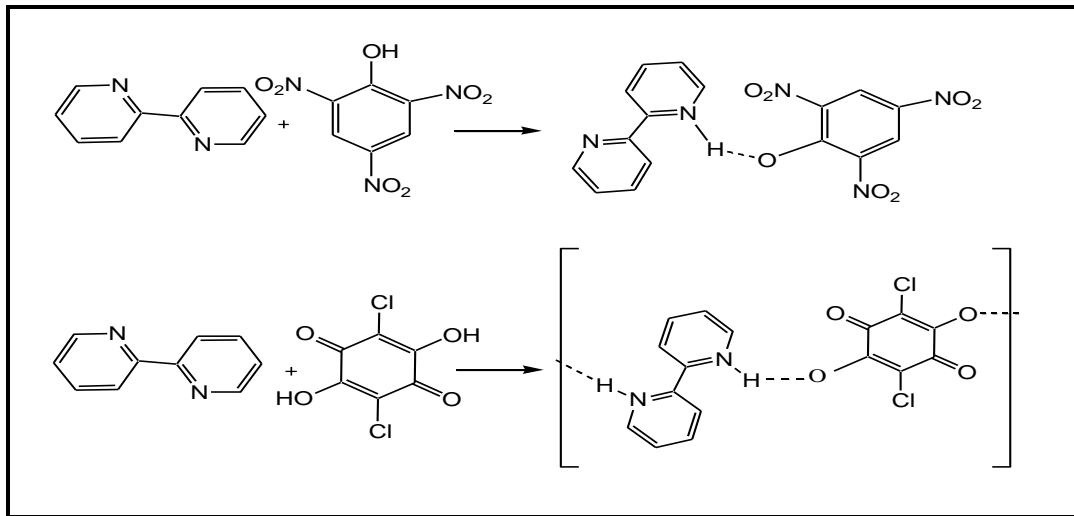
درس Bangal تأثير تكوين روابط هيدروجينية على ثابت تكوين مترافقات انتقال الشحنة بين مستقبلات مختلفة من الكينونات مع مانحات أروماتية مختلفة في مذيب كلوريد

الميثيلين، واشتملت مركبات الروابط الهيدروجينية على مانحات هيدروجينية مثل مركبات الهيدروكسيل ومستقبلات هيدروجينية مثل البيريدين حيث أثبتت الدراسة زيادة ثابت تكوين متراکبات انتقال الشحنة بتكون روابط هيدروجينية (Bangal 2005).

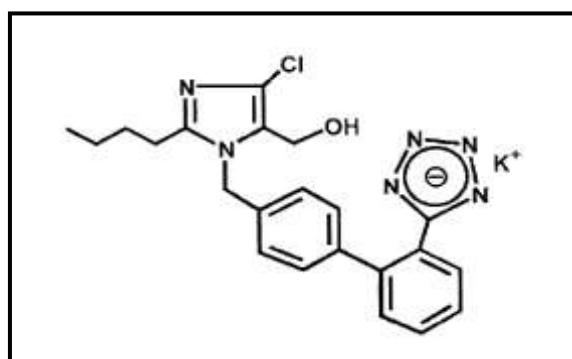
درس El-Mossalamy دراسة متراکبات انتقال الشحنة بين مشتقات الثيویوريا (thiourea) مع العديد من المستقبلات، حيث تم حساب ثابت التكوين طيفياً وبعض المعاملات الحرارية، وحضرت المتراکبات الصلبة وتم دراستها بتقنيات طيفية مختلفة (El-Mossalamy 2005).

درس Sakai et al. متراکبات انتقال الشحنة بين الأمينات الأليفاتية الأولية والثانوية والثلاثية مثل ن-هكسيل امين n-hexylamine وثنائي-ن-هكسيل امين di-n-hexylamine وثلاثي-ن-هكسيل امين tri-n-hexylamine مع جزيئات رباعي بروموفينول فيثالين ايثل استر tetrabromophenolphthaleinethylester في مذيب 1,2-ثنائي كلوروإيثان، ووجد أن قيمة الطول الموجي لامتصاصية العظمى تزداد بزيادة رتبة الأمين (Sakai, Kato and Teshima 2005).

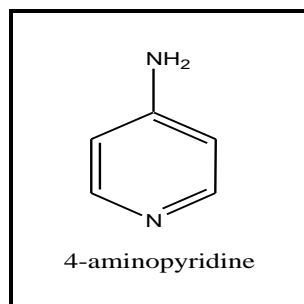
قام Teleb and Gaballe بتحضير ودراسة متراکبات انتقال الشحنة المتكونة بين 2,2-بالي بيريدين 2,2-bipyridine مع بعض المستقبلات مثل حمض البكريك وحمض الكلورانيليك في الميثanol والكلوروفورم عند درجة حرارة الغرفة، وقد تم التوصل بواسطة تحاليل IR والتحليل العنصري والرنين النووي المغناطيسي والدراسة الطيفية أن متراکبات انتقال الشحنة تتكون بنسبة 1:1، وأيضاً أوضحت النتائج حدوث انتقال بروتوني من المستقبلات إلى المانحات (Teleb and Gaballa 2005).



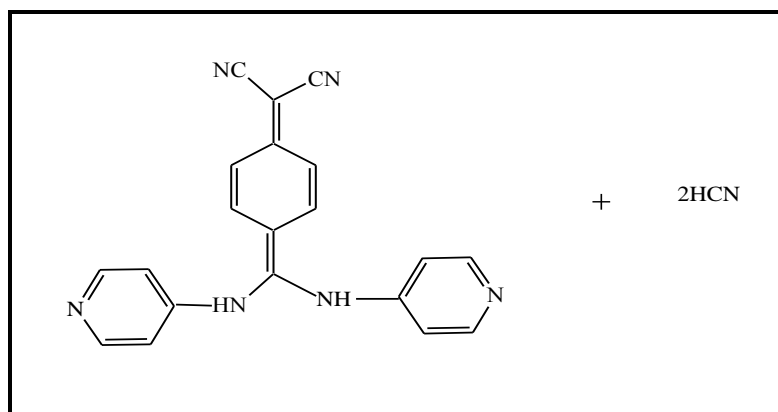
درس Darwish الظروف التحليلية لتكوين مترافق انتقال الشحنة بين لوسرتان البوتاسيوم potassium losartan كمانح إلكتروني من نوع n مع مستقبلات إلكترونية مختلفة من نوع π ومستقبل اليود من نوع σ وقد أثبتت الدراسة تكون مترافق انتقال الشحنة باستخدام تقنيات طيفية مختلفة مثل تقنية الأشعة فوق البنفسجية وتحت الحمراء والرنين النووي المغناطيسي، كما أعطت الطريقة علاقة خطية جيدة بين التركيز والامتصاصية ومعامل امتصاص جيد وكان مدى بيير يتراوح ما بين 200-2 ميكروجرام/مل، كما سجلت الاسترجاعية قيم تتراوح من 98-100٪ وذلك دلالة على دقة الطريقة وحساسيتها (Darwish 2005).



درس Al-Hashimi et al. درس Al-Hashimi et al. مترافق انتقال الشحنة المتكون بين 4-أمينو بيريدين مع اليود كمستقبل من نوع σ في مذيب الكلوروفورم عند درجة حرارة الغرفة، وقد بينت الدراسات الطيفية تكوين مترافق انتقال الشحنة من نوع خماسي الأيوبيديد $(Al-[4APY]_2)I_5^-$.Hashimi, Hassan and Nour 2005)

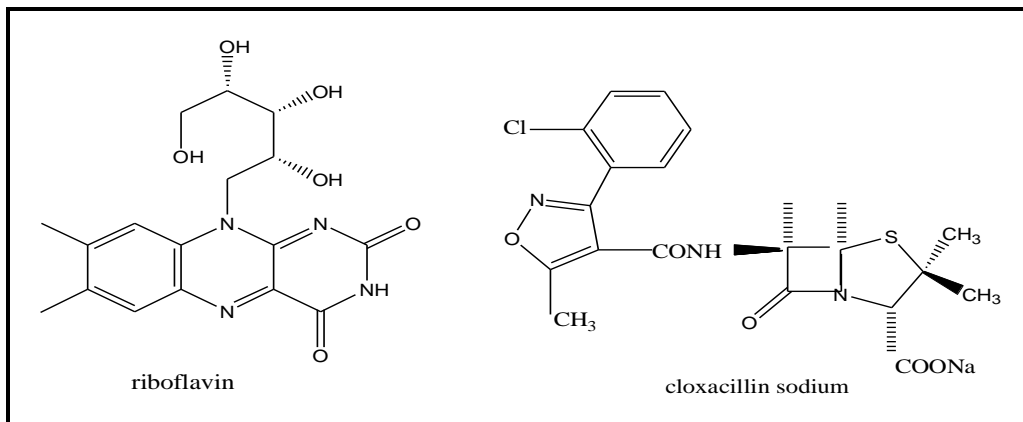


درس Al-Qaradawi and Nour درس Al-Qaradawi and Nour تكوين متراكبات انتقال الشحنة بين المانحات الإلكترونية 3-أمينو بيريدين 3-aminopyridine و4-أمينو بيريدين 4-aminopyridine مع المستقبل (TCNQ) حيث تم دراسة الطيف الإلكتروني والاهتزازي والكتلي، وقد بينت الدراسة تكوين مترافق انتقال الشحنة وانطلاق سيانيد الهيدروجين $(Al-Qaradawi and Nour 2006)$

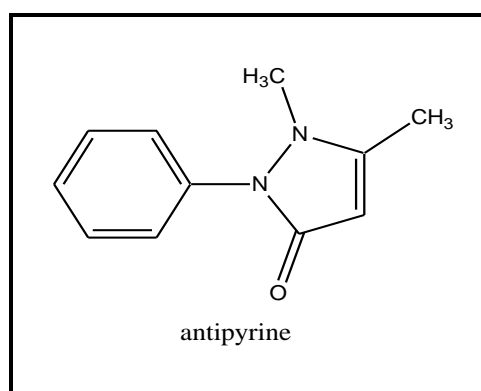


درس Roy et al. درس Roy et al. متراكبات انتقال الشحنة المتكونة بين كلوكساسيلين الصوديوم Cloxacillin sodium وبين الريبوفلافين (فيتامين ب) Riboflavin (vitamin B₂)، ووجد أن

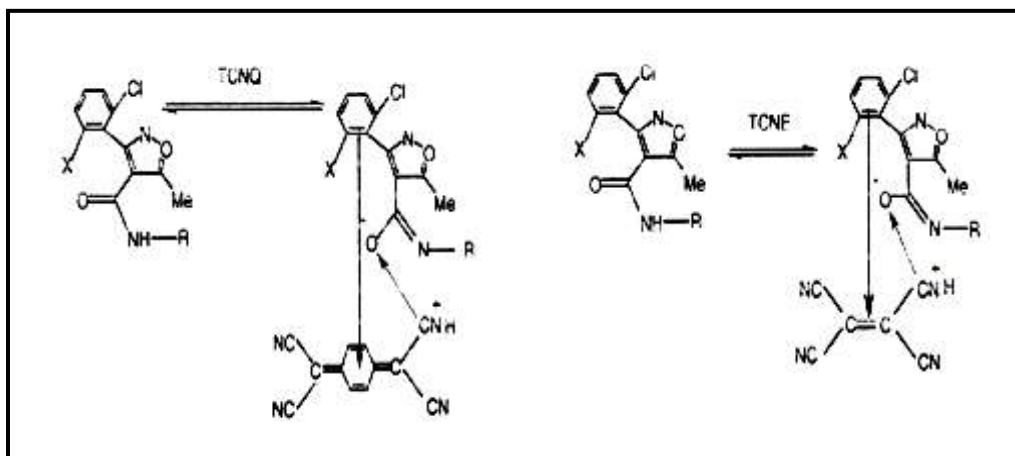
المتراكبات تتكون بنسبة 1:2 في مخلوط غير متجانس من الإيثanol والماء، كما تم حساب المعاملات الحرارية اعتماداً على تقدير ثابت التكوين عند خمس درجات حرارة مختلفة، كما تم دراسة تأثير ثوابت ثنائية الكهربية على ثابت التكوين عن طريق إجراء التفاعل في مخاليط مختلفة من الماء والإيثanol .(Roy, Saha and Mukherjee 2006)



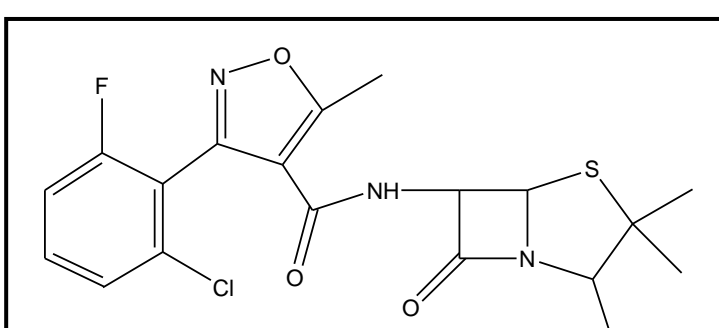
درس Hasani and Rezaei متراكبات انتقال الشحنة المتكونة بين اليود والأنتبييرين بطريقة تحليلية طيفية في مذيبات مختلفة وهي الكلوروفورم وثنائي كلوروميثان و1،2-ثنائي كلوروإيثان عند درجة حرارة 25°C وتم حساب ثوابت التكوين للمتراكبات المتكونة كما أشارت النتائج إلى أن المتراكبات تكونت بنسبة 1:1 (Hasani and Rezaei 2006).



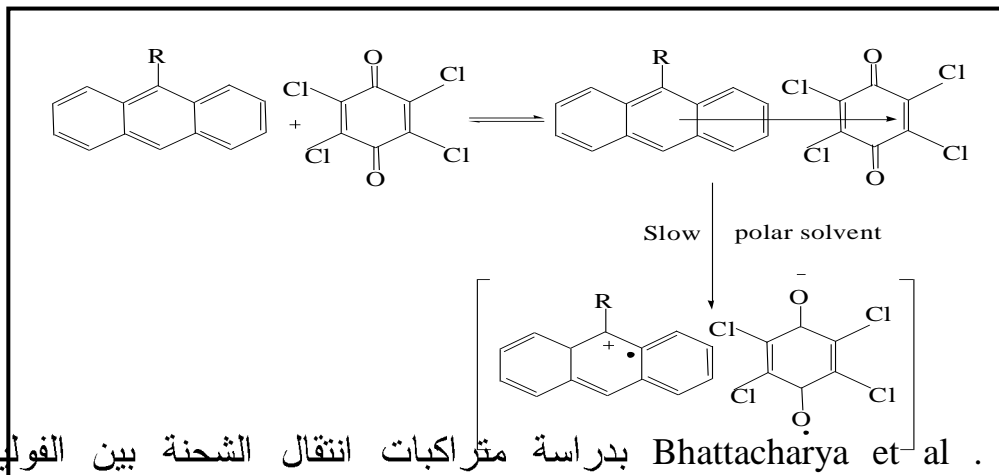
قام Nour El-Dien et al بدراسة متراكمات انتقال الشحنة لتقدير بعض المضادات الحيوية مثل الفلوكساسيلين Flucloxacillin والدايلوكساسيلين Diecloxacillin في حالتها النقية أو الصيدلانية، حيث تم وصف طريقة سريعة ودقيقة وبسيطة لتقدير هذه المضادات وتم وضع الظروف المثالية لتكوين هذه المتراكمات. وقد وجّد أنها تتبع قانون بيير في مدى واسع من التراكيز للمضادات الحيوية تحت الدراسة، كما تم حساب بعض المعاملات الإحصائية مثل الانحراف المعياري والانحراف المعياري النسبي، حيث أكّدت النتائج دقة ومصداقية الطريقة، وقد كانت النتائج مقاربة للطريقة الدستورية المستخدمة في تقدير هذه المضادات الحيوية .(Nour El-Dien, Mohamed and Farag 2006)



درس Refat and El-Didamony متراكمات انتقال الشحنة بطريقة تحليلية طيفية بين المانح الإلكتروني فلوكوكساسيلين الصوديوم sodium flucloxacillin ومستقبلات من نوع π مثل CHA و DDQ و TCNQ وثنائي كلورو كينون -4- كلورو أميد dichloroquinone-4-Clorouro Amide حيث تم إجراء التحليل العنصري وطيف IR وطيف UV-Vis وطيف ^1H chloroimide NMR وقد أشارت النتائج إلى أن المتراكمات تكونت بنسبة جزيئية 1:1 (Refat and El- Didamony 2006).



قام Arslan and Masnovi بتحضير بعض البوليمرات التي تحتوي على الانثراسين لاستخدامها في دراسة تأثير المسافة بين مجموعات الانثراسين على ثباتية بعض متراكبات انتقال الشحنة في مذيب ثنائي كلوروميثان، حيث ثابت التكوين والمعاملات الحرارية باستخدام معادلة فانت هوف، وتم تعيين النسبة الجزيئية للمتراكبات بطريقة جوب وكانت بنسبة 1:1.(Arslan and Masnovi 2006)



قام Bhattacharya et al . بدراسة متراكبات انتقال الشحنة بين الفوليرين

وجزيئات عديدة الأروماتية لها جهد تأين مختلف حيث وجد أن حزمة امتصاص انتقال الشحنة لهذه المتراكبات تقع في المنطقة المرئية، وقد تم حساب طاقة انتقال الشحنة والقوة التدنبية الاهتزازية وعزم ثنائي القطب بتحليل طاقة انتقال الشحنة كدالة في جهد التأين للمانحات تحت الدراسة .(Bhattacharya et al. 2006)

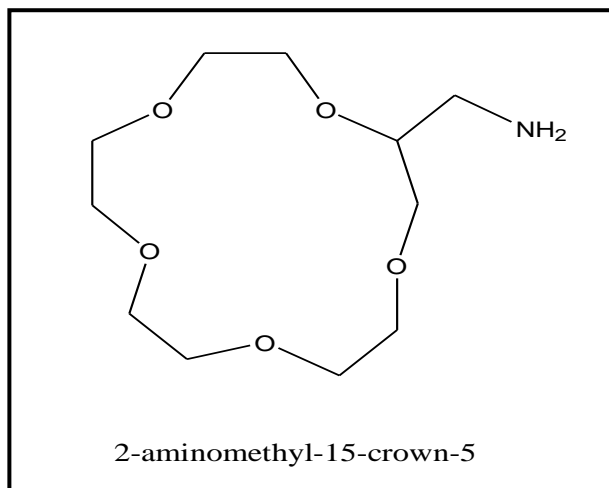
اقتصرت طريقة طيفية بسيطة ودقيقة وحساسة لتحليل المثبطات حيث اعتمد في التحليل على تكوين متراكبات انتقال الشحنة بين الدواء كمانح من نوع n ومستقبلات إلكترونية من نوع π مثل CHA و TCNQ وتم الحصول على علاقات خطية ومعاملات ارتباط جيدة وأعطت النتائج حساسية مرتفعة في التحليل لجميع الأدوية المدرستة مع TCNQ عن تلك مع CHA .(Darwish and Rafaat 2006)

تمكن Al-Attas من تقدير بعض المضادات الحيوية مثل السيفالوسبورين باستخدام تقنية الأشعة المرئية وفوق البنفسجية وذلك عن طريق تكوين متراكبات انتقال الشحنة بين هذه الأدوية في صورتها النقية ومستحضراتها الصيدلانية حيث تكون مانحة للإلكترون من نوع n و π مع حمض الكلورانيليك كمستقبل من نوع π في مذيب الدايوكسان، ووجد أنها تتبع قانون بيير في مدى جيد من التراكيز مما يدل على حساسية الطريقة. كما اقترحت طريقة مربعات النهايات الصغرى لتقدير نقطة التكافؤ من البيانات الطيفية ومقارنتها مع نقطة التكافؤ المقدرة عملياً .(Al-Attas 2007)

درس Mizyed et al. متراكبات انتقال الشحنة المكونة بين أنواع مختلفة من مشتقات كاليلكس (4) كراون calix[4]crowns ومشتقات فوليرين (60) fullerene [60] وذلك باستخدام الطيف المرئي وفوق البنفسجي، وتم حساب ثوابت التكوين والمعاملات الحرارية فوجد أن ثوابت التكوين تتحفظ بزيادة حجم الجزيئات (Mizyed et al. 2007).

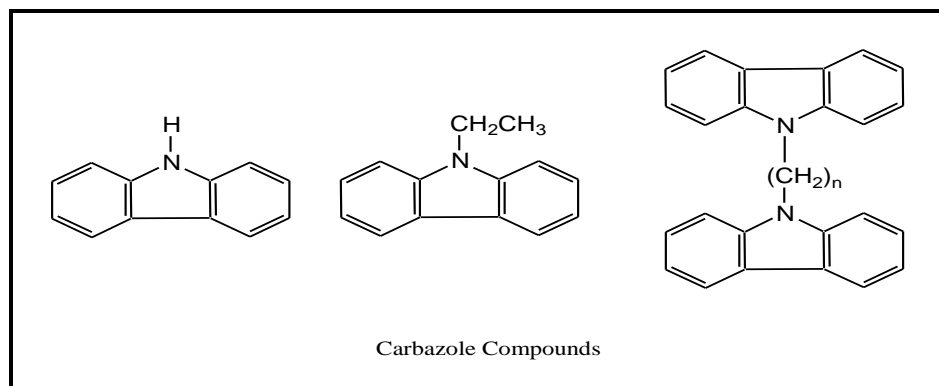
قام Hasani and Akbari بدراسات تحليلية طيفية وحرارية لمتراكبات انتقال الشحنة المكونة بين البوتاسيوم 2-aminomethyl-15-crown-5 في مذيب 1،2-ثنائي كلوروإيثان والكلوروهوفوم حيث تم حساب ثابت التكوين والنسبة الجزيئية لمتراكبات انتقال الشحنة المكونة وتم أيضاً حساب المعاملات الحرارية اعتماداً على ثوابت التكوين عند درجات الحرارة المختلفة بواسطة معادلة فانت

هوف وأوضحت النتائج أن متراتبات اليود المكونة تكون لها ثباتية مرتفعة في كلا المذيبين
 .(Hasani and Akbari 2007)

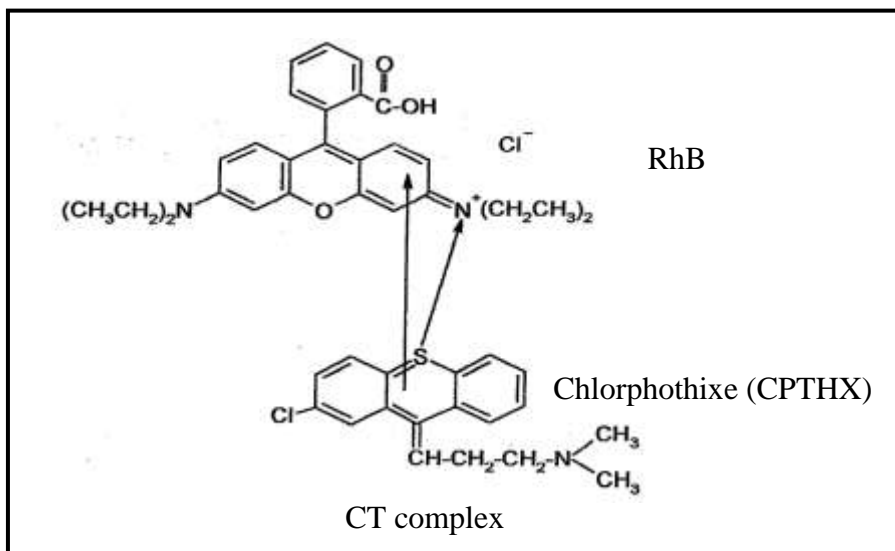


درس Arslan et al. متراتبات انتقال الشحنة المكونة بين مشتقات الكربازول والبارا كلورانيل في مذيب كلوريد الميثيلين وقد تم إجراء التحليل الطيفي للمتراتبات المكونة عند أطوال موجية مختلفة حيث وجد أن الامتصاص يعتمد على الانتقالات بين المانح والمستقبل وتم حساب المعاملات الحرارية باستخدام معادلة فانت هوف وكذلك تم حساب ثوابت التكوين للمتراتبات المكونة كما أوضحت طريقة جوب أن المتراتبات تكونت بنسبة 1:1
 (Arslan, 1:1, 2007)

.Masnovi and Krafcik 2007)



قام Al-Attas and Al-Harbi بتقدير بعض مركبات السلفا وبعض مشتقات مركبات الثيوزانين المانحة للإلكترون من نوع n و π بتكوين متراكبات انتقال الشحنة بنسبة جزيئية 1:1 باستخدام صبغة رودامين ب كمستقبل للإلكترون من نوع π في الصورة النفية والمستحضرات الدوائية وذلك بطريقة القياسات الطيفية وطريقة التوصيلية الكهربائية في الأوساط المائية ومخاليط الأوساط اللامائة عند درجات حرارة في المدى من 25°C - 35°C وتميزت الطريقة المقترحة بالدقة والمصداقية والحساسية كما كانت غير مكلفة وسريعة ومطابقة للطريقة الدستورية (Al-Attas and Al-Harbi 2007a, 2007b).



تمكن Al-Attas et al. من دراسة المتراكبات المتكونة بانتقال الشحنة بين البنزيل أدينين و2-أمينو-4-ميثوكسي-6-ميثيل بيريميدين و2-أمينو-4-كلورو-6-ميثيل بيريميدين و2-أمينو-4،6-ثنائي ميثيل بيريميدين كمانحات للإلكترونات وحمض الكلورانيليك كمستقبل للإلكترون بالطريقة الطيفية وبالطريقة التوصيلية الكهربائية، كما تم استخدام طريقة الامتصاصية الصغرى والعظمى لحساب ثوابت التكوين، وتم أيضاً استخدام طريقة جوب

والدراسات الطيفية والتوصيلية للتعرف على النسبة الجزيئية للمتراكبات المتكونة، بالإضافة إلى حساب معامل الامتصاص المولاري (ϵ) والقوة التذبذبية الاهتزازية (f) وعزم ثنائي القطب (μ) وطاقة انتقال الشحنة (E_{CT})، كما تم أيضاً تحضير المتراكبات الصلبة ودراستها باستخراج طيف الأشعة تحت الحمراء وطيف الرنين النووي المغناطيسي والتي أوضحت أن المتراكبات الناتجة تحتوي على روابط هيدروجينية (Al-Attas, Habeeb and Basha 2007, Al-Attas, Habeeb and Al-Raimi 2009).

درس Al-Ahmari et al. متراكبات انتقال الشحنة بين 2-أمينوبيريدين مع بعض المستقبلات الالكترونية مثل 5,2-ثنائي هيدروكسي بنزوكينون و حمض الكلورانيليك في مذيبات مختلفة حيث تم حساب ثوابت التكوين و اثبات التركيب الجزيئي بتقنيات مختلفة مثل طيف فوريير للأشعة تحت الحمراء و طيف الرنين النووي المغناطيسي . (Al-Ahmari et al. 2010a, 2011b).

١-٥- الهدف من البحث:

مما سبق تتضح أهمية الرابطة الهيدروجينية ومتراكبات الانتقال البروتوني ومتراكبات انتقال الشحنة وكذلك أهمية أمينوبيريدينات، حيث يعتبر الانتقال البروتوني تفاعلاً بسيطاً وهاماً وخصوصاً في المركبات البيولوجية كما أن الارتباط الهيدروجيني يعتبر ارتباط لاتساهمي يلعب دوراً هاماً في كثير من الظواهر ابتداءً من توصيلية المركبات العضوية إلى التحكم في الشكل ثانوي الحلزون للحمض النووي DNA، وبناءً على ذلك تتضح أهمية الدراسات الطيفية لهذا النوع من التفاعلات للاعتماد عليها في تقدير بعض المركبات البيولوجية (أمينوبيريدينات).

وبالتالي يهدف البحث إلى:

- ❖ تعين ثوابت التكوين لمتراكبات الانتقال البروتوني K_{PT} ومتراكبات انتقال الشحنة K_{CT} للمركبات المدروسة مع المانح البروتوني 2،6-ثنائي كلورو-4-نيتروفينول والمستقبل الإلكتروني حمض الكلورانيليك باستخدام طيف الأشعة فوق البنفسجية والمرئية في مذيبات مختلفة وأيضاً دراسة تأثير درجة الحرارة عليها.
- ❖ تعين النسبة الجزيئية لمتراكبات الانتقال البروتوني وانتقال الشحنة المتكونة بتطبيق طريقة التغيرات المستمرة (Job's method) وطريقة المعايرات الطيفية.
- ❖ دراسة بعض الظروف التحليلية المؤثرة على تكوين هذه المتراكبات مثل درجة الحرارة والزمن وتدخل بعض الأيونات الفلزية.
- ❖ تحديد المعاملات الكمية والتحاليل الإحصائية لتقدير المركبات قيد الدراسة كإيجاد مدى بيير Beer's Law range وحد الاكتشاف والحد الكمي ومعامل الامتصاصية الجزيئية وميل الخط المستقيم والجزء المقطوع من المحور الصادي وحد الثقة لكل منها.
- ❖ تحديد الدقة والمصداقية لطرق التقدير من خلال حساب الانحراف المعياري والانحراف المعياري النسبي والفرق بين الكمية الحقيقة والمقدرة والخطأ المستقل.
- ❖ تحضير بعض متراكبات الانتقال البروتوني وانتقال الشحنة في الحالة الصلبة وإثبات التركيب الجزيئي لها عن طريق التحليل العنصري وطيف الأشعة تحت الحمراء والرنين النووي المغناطيسي.

الباب الثاني

التجارب العملية

الباب الثاني

التجارب العملية

١-٢ - الأجهزة:

- 1- جهاز قياس الطيف في المنطقة المرئية وفوق البنفسجية مزود بخلايا من الكوارتز طولها البصري 10 ملم، متصل بجهاز كمبيوتر.
- 2- جهاز قياس الطيف في المنطقة المرئية وفوق البنفسجية مزود بخلايا من الكوارتز طولها البصري 10 ملم، متصل بجهاز كمبيوتر، متصل بوحدة تنظيم درجة الحرارة .
- 3- ميزان إلكتروني لرابع رقم عشري .
- 4- جهاز التحليل العنصري في جامعة القاهرة بمصر- مركز التحاليل الدقيقة .
- 5- جهاز قياس الأشعة تحت الحمراء في جامعة القاهرة بمصر- مركز التحاليل الدقيقة .
- 6- جهاز قياس طيف الرنين النووي المغناطيسي في جامعة القاهرة بمصر- مركز التحاليل الدقيقة .

٢-٢- الكيماويات:

جميع الكيماويات المستخدمة في هذا البحث كانت على درجة عالية من النقاوة وهي:

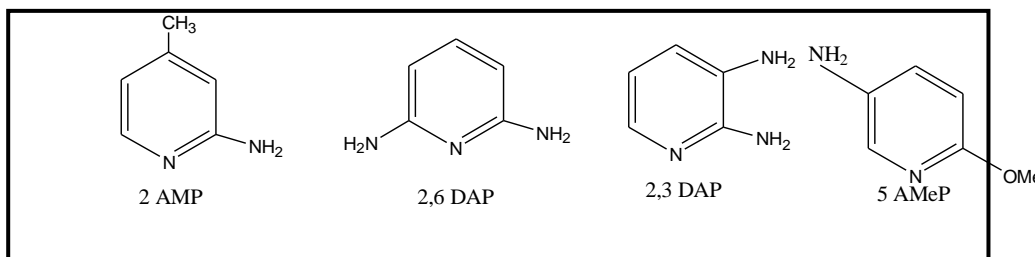
١-٢-٢- المستقبلات البروتونية (المانحات الإلكترونية):

* ٢-أمينو-4-ميثيل بيريدين.
(2AMP) (2-amin-4-methylpyridine) (Fluka) ≥ 99 %

٢،٦-ثنائي أمينوبيريدين.
(2,6DAP) (2,6-Diaminopyridine) (Aldrich) 98%

٢،٣-ثنائي أمينوبيريدين .
(2,3DAP) (2,3-Diaminopyridine) (Acros organics) 98%

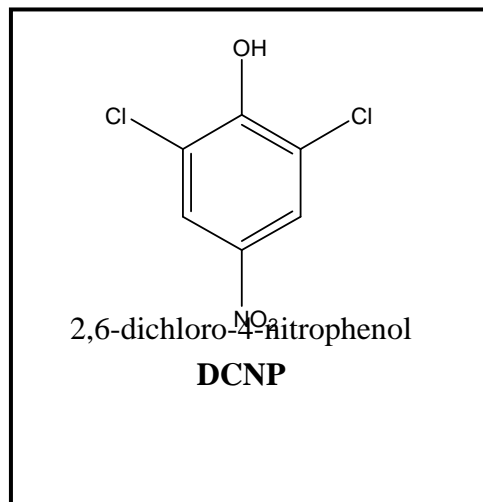
* ٥-أمينو-2-ميثوكسي بيريدين.
(5AMeP) (5-Amino-2-methoxypyridine) (Aldrich) 95%



وقد تم تحضير الأخير في الحالة الصلبة فقط .

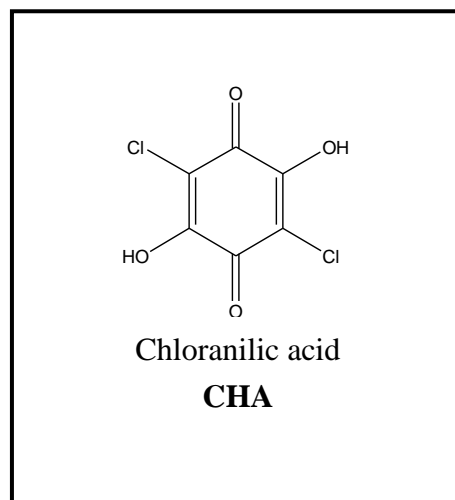
٢-٢-٢ - المانحات البروتونية:

* ٦،٢-ثنائي كلورو-٤-نيتروفينول.
(DCNP) (2,6-dichloro-4-nitrophenol) (Fluka) ≥ 98 %



٢-٣-٢ - المستقبلات الإلكترونية:

* حمض الكلورانيليك.
(CHA) (chloranilic acid) (BDH) 98 %



٤-٢-٢ - المذيلات:

* .(CH₃CN) Acetonitrile
(UV-IR-HPLC-isocratic) PAI-ACS 99.9 %

* .(CH₃OH) Methanol
(UV-IR-HPLC-isocratic) PAI-ACS 99.5 %

٥-٢-٢ - الأملالح:

* نترات البوتاسيوم (Potassium nitrate)
KNO₃ Winlab 99 %

* كلوريد الصوديوم (Sodium chloride)
NaCl BDH 99 %

* كلوريد الومنيوم سداسي الماء
(Aluminium chloride hexahydrate)
.AlCl₃.6H₂O
BDH 97 %

* كبريتات المغنيسيوم سباعية الماء
MgSO₄.7H₂O (Magnesium sulphate)
BDH 99 %

٢-٣-٢- المحاليل:

٢-٣-١- تحضير محاليل المستقبلات البروتونية:

تم تحضير محاليل المستقبلات البروتونية (stock solution) بتركيز 10^{-3} مولار وذلك بإذابة الوزن المناسب من (2AMP, 2,6DAP, 2,3DAP) في الحجم المطلوب من الأسيتونيتريل والميثanol ومخلوط من كليهما بنسبة (1:1).

٢-٣-٢- تحضير محاليل المانحات البروتونية:

تم تحضير محلول (DCNP) المانح البروتوني (stock solution) بتركيز 10^{-3} مولار وذلك بإذابة الوزن المناسب منه في الحجم المطلوب من الأسيتونيتريل والميثanol ومخلوط من كليهما بنسبة (1:1).

٢-٣-٣- تحضير محاليل المانحات الإلكترونية:

تم تحضير محاليل المانحات الإلكترونية (stock solution) بتركيز 10^{-2} مولار وذلك بإذابة الوزن المناسب من (2AMP, 2,6DAP, 2,3DAP) في الحجم المطلوب من الأسيتونيتريل والميثanol ومخلوط من كليهما بنسبة (1:1).

٢-٣-٤ - تحضير محليل المستقبلات الإلكترونية:

تم تحضير محلول (CHA) المستقبل الإلكتروني (stock solution) بتركيز 5×10^{-3} مولار وذلك بإذابة الوزن المناسب منه في الحجم المطلوب من الأسيتونيترييل والميثانول ومخلوط من كليهما بنسبة (1:1) مع ضرورة حفظه في أماكن مظلمة.

٢-٤ - الطرق الطيفية لدراسة تكوين المتراكبات:

٢-٤-١ - متراكبات الانتقال البروتوني بين المستقبلات والمانح البروتونية:

يتم أولاً تحديد طول موجة متراكبات الانتقال البروتوني والتي تختلف عن الأطوال الموجية للمستقبلات والمانح البروتوني.

٢-٤-١-١ - تعين ثابت التكوين:

١- ينقل 1 مل من المانح البروتوني (DCNP) بتركيز 1×10^{-3} مولار إلى 10 دوارق قياسية سعة 10 مل.

٢- يضاف إلى المحاليل السابقة حجوم مختلفة من المستقبلات البروتونية (الأمينات المختلفة) بتركيز 1×10^{-3} مولار كما هو موضح في جزء النتائج، ويكمel المحلول إلى العلامة بالمذيب المناسب.

٣- تقادس الامتصاصية للمخلوط عند الطول الموجي لمتراكبات الانتقال البروتوني من 200 إلى 800 نانومتر، مقابل محلول يحتوي على نفس التركيز من المانح البروتوني (المحلول المرجعي) لمنع التداخل بين حزم المانح والمتراكب مع ملاحظة أنه يتم تحديد أعلى تركيز من ثباتية الامتصاصية.

٤- من قيم الامتصاصية يتم حساب ثابت تكوين متراكب الانتقال البروتوني لكل نظام.

5- يتم حساب ثابت التكوين للمتراكبات بطريقة النهاية الصغرى والعظمى للإمتصاصية وفقاً للمعادلة التالية:

(Habeeb, M. M. and Al-ghanmi, R. M. 2010).

$$(A_{\text{comp.}} - A_{\text{min.}})$$

$$K_{\text{CT}} = \frac{(A_{\text{comp.}} - A_{\text{min.}})}{C_{\text{amine}}(A_{\text{max.}} - A_{\text{comp.}})}$$

حيث أن:

K_{CT} = ثابت التكوين (L.mol⁻¹).

$A_{\text{max.}}$ = قيمة الامتصاصية العظمى للمتراسك.

$A_{\text{min.}}$ = قيمة الامتصاصية الصغرى للمتراسك.

$A_{\text{comp.}}$ = قيمة الامتصاصية للمتراسك.

C_{amine} = تركيز الأمين بالمولار.

٢-٤-١-٢- دراسة الظروف المثالية لمتراكبات الانتقال البروتوني:

٢-٤-١-٢- دراسة تأثير زمن التفاعل:

1- يوضع 1 مل من المانح البروتوني (DCNP) بتركيز 1×10^{-3} مولار في دورق قياسي 10 مل، ويضاف إليه 1 مل من الأمينات المختلفة بتركيز 1×10^{-3} مولار ثم يكمل محلول إلى العلامة بالمذيب المناسب.

2- تفاصي الامتصاصية عند λ_{max} لمدة ساعتين حيث يؤخذ القياس كل 10 دقائق عند درجة حرارة الغرفة ، مقابل محلول المرجعي الذي يحتوي على 1مل من المانح البروتوني (DCNP) بتركيز 1×10^{-3} مولار .

3- ترسم العلاقة بين قيم الامتصاصية والزمن.

٢-٤-١-٢- دراسة تأثير درجة الحرارة:

- يوضع 1 مل من المانح البروتوني (DCNP) بتركيز 1×10^{-3} مولار في دورق قياسي 10 مل، ويضاف إليه 1 مل من الأمينات المختلفة بتركيز 1×10^{-3} مولار ثم يكمل محلول إلى العالمة بالمذيب المناسب.
- تفاصي الامتصاصية عند λ_{max} وذلك عند درجات حرارة $(20^\circ, 25^\circ, 30^\circ, 35^\circ)$ على التوالي ، مقابل محلول المرجعي الذي يحتوي على 1 مل من المانح البروتوني (DCNP) بتركيز 1×10^{-3} مولار .
- ترسم العلاقة بين قيم الامتصاصية ودرجة الحرارة.

٢-٤-٣-١- دراسة تأثير درجة الحرارة على الامتصاصية وثبت التكوين لمترابكبات الانتقال البروتوني:

تفاصي الامتصاصية للمحاليل السابقة التحضير عند الطول الموجي المختار λ_{max} لمتراكب الانتقال البروتوني المكون لكل نظام، وذلك عند درجات حرارة $(20^\circ, 25^\circ, 30^\circ, 35^\circ, 40^\circ)$ على التوالي ، مقابل محلول المرجعي الذي يحتوي على 1 مل من المانح البروتوني (DCNP) بتركيز 1×10^{-3} مولار.

٢-٤-١-٤- تعين النسبة الجزيئية لمترابكبات الانتقال البروتوني:

٢-٤-١-٤- طريقة التغيرات المستمرة (Job's method) (Job 1928):

- يحضر محلolan رئيسيان لكل من المستقبل والمانح البروتوني بتركيز ثابت لكل منها وقد تم تثبيت التركيز 1×10^{-3} مولار لكل من المانح البروتوني (DCNP) والأمينات المختلفة.

- يتم تحضير سلسلة من المحاليل بخلط المانح والمستقبل بنسب حجمية مختلفة على أن يكون الحجم الكلي للمخلوط ثابت (4 مل) كما هو موضح في جدول (2-1) ثم يكمل محلول إلى العلامة بالمذيب المناسب.
- تفاصي الامتصاصية للمترافق عند λ_{\max} .
- ترسم العلاقة بين الامتصاصية والكسر الجزيئي، ومنه يتم تحديد النسبة الجزيئية للمترافق المتكون من النهاية العظمى للمنحنى.

Table (2-1): Volumes of proton acceptor and proton donor in Job's method.

Solution numbers	Volume of proton acceptor (ml)	Volume of proton donor (ml)	Mole fraction of proton donor
1	4.0	0.0	0.000
2	3.5	0.5	0.125
3	3.0	1.0	0.250
4	2.5	1.5	0.375
5	2.0	2.0	0.500
6	1.5	2.5	0.625
7	1.0	3.0	0.750
8	0.5	3.5	0.875
9	0.0	4.0	1.000

٢ - ٤ - ١ - ٤ - المعايرات الطيفية:

- 1- تقل حجوم مختلفة من المستقبل البروتوني (الأمينات المختلفة) بتركيز مختلف إما أن تكون $10 \times 2,5^{-5}$ أو 5×10^{-5} أو $7,5 \times 10^{-5}$ مolar إلى 14 دورق قياسي سعة 10 مل .
- 2- يضاف لكل منها حجوم مختلفة من المانح البروتوني (DCNP) بتركيز 10×1^{-3} مolar ثم يكمل محلول إلى العالمة بالمذيب المناسب.
- 3- يضاف المانح إلى المستقبل البروتوني حتى نحصل على نسبة جزئية بين المانح إلى المستقبل البروتوني من 2-3 .
- 4- تفاصي الامتصاصية عند λ_{max} ، مقابل محلول المرجعي الذي يحتوي على المذيب فقط .
- 5- ترسم العلاقة بين الامتصاصية والسبة المولارية بين المانح إلى المستقبل البروتوني، ومنه يتم تحديد نقطة التكافؤ والتي تعبر عن النسبة الجزئية للمترافق المكون وذلك من ثباتية الامتصاصية أو القاء خطين مستقيمين.

٢-٤-٥- دراسة تأثير الكاتيونات على امتصاصية مترافق الانتقال البروتوني:

- 1- يتم تحضير 11 دورق قياسي سعة 10 مل يوضع في كل منها 2 مل من كل من المستقبل والمانح البروتوني بتركيز 10×1^{-3} مolar .
- 2- يضاف لكل منها حجوم مختلفة من محلول الملح المحضر بتركيز 10^{-2} مolar كما هو موضح في جزء النتائج، ويكملي محلول إلى العالمة بالمذيب المناسب.
- 3- تفاصي الامتصاصية عند λ_{max} مقابل محلول المرجعي الذي يحتوي على 2 مل من المانح البروتوني بتركيز 10×1^{-3} مolar .

٤- ترسم العلاقة بين قيم الامتصاصية وحجم محلول الملح المضاف.

٢-٤-١-٦- مدى تحقيق قانون بيير: (Miller and Miller 1988)

١- يتم تحضير ١٤ دورق قياسي سعة ١٠ مل يوضع في كل منها الحجم المثالي من محلول المانح البروتوني (DCNP) بتركيز 1×10^{-3} مولار.

٢- يتم تحديد الحجم المثالي من رسم العلاقة بين حجم المانح البروتوني المضاف إلى تركيز ثابت من المستقبل البروتوني مع امتصاصية المترافق.

٣- يضاف لكل منها حجوم مختلفة من محلول المستقبل البروتوني (الامينات المختلفة) بتركيز 1×10^{-3} مولار للحصول على سلسلة مختلفة من التراكيز، ويكمel محلول إلى العلامة بالذيب المناسب.

٤- تفاصيل امتصاصية المحاليل عند λ_{max} مقابل محلول المرجعي الذي يحتوي على الحجم المثالي من المانح البروتوني (DCNP) بتركيز 1×10^{-3} مولار ، ثم ترسم العلاقة بين قيم الامتصاصية وتركيز الأمين بالمولار و بالميكروجرام/مل.

٥- يتم تحديد مدى علاقة بيير ومعادلة الخط المستقيم من الرسم ومنها يتم حساب المعاملات الإحصائية المختلفة.

٢-٤-١-٧- حساب الاسترداد المئوي:

١- يتم تحضير سلسلة من المحاليل بإضافة تراكيز مختلفة من المستقبل البروتوني يقع تركيزها ضمن حدود علاقة بيير إلى الحجم المثالي من المانح البروتوني ثم تفاصيل امتصاصيتها عند λ_{max} ، مقابل محلول المرجعي المستخدم في بيير، ويحسب التركيز من معادلة الخط المستقيم لحساب الاسترداد المئوي .

٢- يتم حساب مدى الثقة والمصداقية في طريقة التقدير المقترحة من النتائج التي تم الحصول عليها.

٤-١-٨- تحضير مترابكبات الانتقال البروتوني في الحالة الصلبة:

تم تحضير مترابكبات الانتقال البروتوني بنسبة ١:١ في الأسيتونيترييل كما يلي:

- يؤخذ عدد متساوٍ من المولات من كل من DCNP والأمينات المختلفة.

- يذاب كل منها على حدة في الأسيتونيترييل .

- يضاف المانح البروتوني إلى الأمين.

- يترك محلول حتى يتbxر معظم المذيب .

- يرشح الراسب ويغسل عدة مرات بالأسيتونيترييل.

- يترك الراسب في المجفف إلى حين إجراء التحاليل العنصرية والطيفية.

٤-٢-٢- مترابكبات انتقال الشحنة بين المانحات والمستقبلات الإلكترونية:

يتم أولاً تحديد طول موجة مترابكبات انتقال الشحنة والتي تختلف عن الأطوال الموجية للمانحات والمستقبلات الإلكترونية.

٤-٢-١- تعين ثابت التكوين:

- 1- ينقل 1 مل من المستقبل الإلكتروني (CHA) بتركيز 5×10^{-3} مولار إلى 10 دوارق قياسية سعة 10 مل.
- 2- يضاف إلى المحاليل السابقة حجوم مختلفة من المانحات الإلكترونية (الأمينات المختلفة) كما هو موضح في جزء النتائج، ويكمel المحلول إلى العلامة بالمذيب المناسب.
- 3- تفاصيل الامتصاصية للمخلوط عند الطول الموجي لمتراتكبات انتقال الشحنة من 200 إلى 800 نانومتر، مقابل محلول يحتوي على نفس التركيز من المستقبل الإلكتروني (محلول مرجعي) لمنع التداخل بين حزم المستقبل والمتراتكب مع ملاحظة أنه يتم تحديد أعلى تركيز من ثباتية الامتصاصية.
- 4- من قيم الامتصاصية يتم حساب ثابت تكوين متراتكب انتقال الشحنة لكل نظام.
- 5- تم حساب ثابت التكوين للمتراتكبات بطريقة النهاية الصغرى والعظمى للإمتصاصية وفقاً للمعادلة التالية:

$$K_{CT} = \frac{(A_{comp.} - A_{min.})}{C_{amine}(A_{max.} - A_{comp.})}$$

حيث أن:

$$K_{CT} = \text{ثابت التكوين } (L \cdot mol^{-1})$$

$A_{max.}$ = قيمة الامتصاصية العظمى للمتراتكب.

$A_{min.}$ = قيمة الامتصاصية الصغرى للمتراتكب.

$A_{comp.}$ = قيمة الامتصاصية للمتراتكب.

C_{amine} = تركيز الأمين بالمولار.

٤-٢-٢-٢- دراسة الظروف المثالية لمتراتكبات انتقال الشحنة:

٤-٢-١- دراسة تأثير زمن التفاعل:

- يوضع 1 مل من المستقبل الإلكتروني (CHA) بتركيز 5×10^{-3} مولار في دورق قياسي 10 مل ويضاف إليه (1 مل) من المانح الإلكتروني (الأمينات المختلفة) بتركيز 5×10^{-3} مولار، ويكمel المحلول إلى العالمة بالمذيب المناسب.
- تفاص الامتصاصية عند λ_{max} لمدة ساعتين حيث يؤخذ القياس كل 10 دقائق عند درجة حرارة الغرفة ، مقابل المحلول المرجعي الذي يحتوي على 1مل من المستقبل الإلكتروني (CHA) بتركيز 5×10^{-3} مولار .
- ترسم العلاقة بين قيم الامتصاصية والزمن.

٤-٢-٢- دراسة تأثير درجة الحرارة:

- يوضع 1 مل من المستقبل الإلكتروني (CHA) بتركيز 5×10^{-3} مولار في دورق قياسي 10 مل ويضاف إليه (1 مل) من المانح الإلكتروني (الأمينات المختلفة) بتركيز 5×10^{-3} مولار، ويكمel المحلول إلى العالمة بالمذيب المناسب.
- تفاص الامتصاصية عند λ_{max} وذلك عند درجات حرارة (٢٠، ٢٥، ٣٠، ٣٥، ٤٠، ٤٥، ٥٠) على التوالي ، مقابل المحلول المرجعي الذي يحتوي على 1مل من المستقبل الإلكتروني (CHA) بتركيز 5×10^{-3} مولار .
- ترسم العلاقة بين قيم الامتصاصية ودرجة الحرارة.

٤-٢-٣- دراسة تأثير درجة الحرارة على الامتصاصية وثبت التكوين لمترابكبات انتقال الشحنة:

تفاص الامتصاصية للمحاليل السابقة التحضير عند الطول الموجي المختار λ_{max} لمتراكب انتقال الشحنة المتكون لكل نظام، وذلك عند درجات حرارة (٢٠، ٢٥، ٣٠، ٣٥)

٣٥° م على التوالي ، مقابل المحلول المرجعي الذي يحتوي على ١مل من المستقبل الإلكتروني (CHA) بتركيز 5×10^{-3} مolar.

٤-٢-٤-٤- تعين النسبة الجزيئية لمترابكبات انتقال الشحنة:

٤-٢-٤-١- طريقة التغيرات المستمرة (Job's method):

١- يحضر محلولان رئيسيان لكل من المانح والمستقبل الإلكتروني بتركيز ثابت لكل منها وقد تم تثبيت التركيز 5×10^{-3} مolar لكل من المستقبل الإلكتروني (CHA) والأمينات المختلفة.

٢- يتم تحضير سلسلة من المحاليل بخلط المانح والمستقبل الإلكتروني بنسب حجمية مختلفة على أن يكون الحجم الكلي للمخلوط ثابت (٤مل) كما هو موضح في جدول (٢-٢) ثم يكمل المحلول إلى العلامة بالمذيب المناسب.

٣- تقاس الامتصاصية للمتراكب عند λ_{max} .

٤- ترسم العلاقة بين الامتصاصية والكسر الجزيئي، ومنه يتم تحديد النسبة الجزيئية للمتراكب المتكون من النهاية العظمى للمنحنى.

Table (2-2): Volumes of electron donor and electron acceptor in Job's method.

Solution numbers	Volume of electron donor(ml)	Volume of electron acceptor (ml)	Mole fraction of acceptor electron
1	4.0	0.0	0.000
2	3.5	0.5	0.125
3	3.0	1.0	0.250
4	2.5	1.5	0.375

5	2.0	2.0	0.500
6	1.5	2.5	0.625
7	1.0	3.0	0.750
8	0.5	3.5	0.875
9	0.0	4.0	1.000

٢-٤-٢-٤-٢- المعايرات الطيفية:

١- تنقل حجوم ثابتة من المانح الإلكتروني (الأمينات المختلفة) بتركيز مختلفة إما أن تكون $10 \times 2,5 \text{ مل}$ أو $10 \times 7,5 \text{ مل}$ أو $10 \times 5 \text{ مل}$ أو دورق قياسي سعة 14 مل.

٢- يضاف لكل منها حجوم مختلفة من المستقبل الإلكتروني (CHA) بتركيز $10 \times 5 \text{ مل}$ ثم يكمل محلول إلى العلامة بالمذيب المناسب.

٣- يضاف المستقبل إلى المانح الإلكتروني حتى نحصل على نسبة جزيئية بين المانح إلى المستقبل الإلكتروني من ٣-٢.

٤- تفاصيل الامتصاصية عند λ_{\max} ، مقابل محلول المرجعي الذي يحتوي على المذيب فقط.

٥- ترسم العلاقة بين الامتصاصية والنسبة المولارية بين المانح إلى المستقبل البروتوني ، ومنه يتم تحديد نقطة التكافؤ والتي تعبر عن النسبة الجزيئية للمترافق المكون وذلك من ثباتية الامتصاصية أو التقاء خطين مستقيمين.

٢-٤-٢-٥- دراسة تأثير الكاتيونات على امتصاصية مترافق انتقال الشحنة:

- يتم تحضير 11 دورق قياسي سعة 10 مل يوضع في كل منها 2 مل من كل من المانح والمستقبل الإلكتروني بتركيز 5×10^{-3} مولار.
- يضاف لكل منها حجوم مختلفة من محلول الملح المحضر بتركيز 1×10^{-2} مولار كما هو موضح في جزء النتائج، ويكمel محلول إلى العالمة بالمذيب المناسب.
- تقادس الامتصاصية عند λ_{max} مقابل محلول المرجعي الذي يحتوي على 2 مل من المستقبل الإلكتروني بتركيز 5×10^{-3} مولار.
- ترسم العلاقة بين قيم الامتصاصية وحجم محلول الملح المضاف.

٤-٢-٦-٦- مدى تحقيق قانون بيير:

- يتم تحضير 14 دورق قياسي سعة 10 مل يوضع في كل منها الحجم المثالي من محلول المستقبل الإلكتروني (CHA) بتركيز 5×10^{-3} مولار.
- يتم تحديد الحجم المثالي من رسم العلاقة بين حجم المانح الإلكتروني المضاف إلى تركيز ثابت من المستقبل الإلكتروني مع امتصاصية المترافق.
- يضاف لكل منها حجوم مختلفة من محلول المانح الإلكتروني (الأمينات المختلفة) بتركيز 5×10^{-3} مولار، ويكمel محلول إلى العالمة بالمذيب المناسب.
- تقادس امتصاصية المحاليل عند λ_{max} مقابل محلول المرجعي الذي يحتوي على الحجم المثالي من المستقبل الإلكتروني (CHA) بتركيز 5×10^{-3} مولار، ثم ترسم العلاقة بين قيم الامتصاصية وتركيز الأمين بالمولار وبالميکروجرام/مل.
- يتم تحديد مدى علاقة بيير ومعادلة الخط المستقيم من الرسم، ومنها يتم حساب المعاملات الإحصائية المختلفة.

٤-٢-٧- حساب الاسترداد المئوي:

١- يتم تحضير سلسلة من المحاليل بإضافة تراكيز مختلفة من المانج الإلكتروني يقع تركيزها ضمن حدود علاقة بيير إلى الحجم المثالي من المستقبل الإلكتروني ثم تفاصيلها عند λ_{max} ، مقابل محلول المرجعي المستخدم في بيير، ويحسب التركيز من معادلة الخط المستقيم لحساب الاسترداد المئوي .

٢- يتم حساب مدى الثقة والمصداقية في طريق التقدير المقترحة من النتائج التي تم الحصول عليها.

٤-٢-٨- تحضير متراتبات انتقال الشحنة في الحالة الصلبة:

تم تحضير متراتبات انتقال الشحنة بنسبة ١:١ في الأسيتونيترييل كما يلي:

- ١- يؤخذ عدد متساوٍ من المولات من كل من (CHA) والأمينات المختلفة.
- ٢- يذاب كل منها على حدة في الأسيتونيترييل .
- ٣- يضاف المستقبل الإلكتروني إلى الأمين.
- ٤- يترك محلول حتى يتبخّر معظم المذيب .
- ٥- يرشح الراسب ويغسل عدة مرات بالأسيتونيترييل.
- ٦- يترك الراسب في المجفف إلى حين إجراء التحاليل العنصرية والطيفية.